

# Лекция 5-2022.

## Магнитное поле в вакууме

- 1 Вектор индукции и напряженности магнитного поля
- 2 Закон Био-Савара-Лапласа
- 3 Принцип суперпозиции магнитных полей
- 4 Поле прямого и кругового тока
- 5 Поток вектора магнитной индукции
- 6 Теорема Гаусса для магнитного поля
- 7 Теорема о циркуляции вектора индукции магнитного поля в интегральной и дифференциальной формах
- 8 Расчет магнитного поля тороида и соленоида.

# ЧУЕВ Анатолий Степанович

Сайт кафедры «Физика» (ФН-4):

<http://fn.bmstu.ru/tm-fs-4>

Презентации лекций и семинаров:

<http://hoster.bmstu.ru/~moodle/> - *новые курсы- «Физика»  
Электромагнетизм и оптика. 2020-2021.*

Тестирование на ФН-4 многократное по лекциям:

<https://e-learning.bmstu.ru/fn/course/index.php?categoryid=1>  
Физика, тестирование для ИУ6

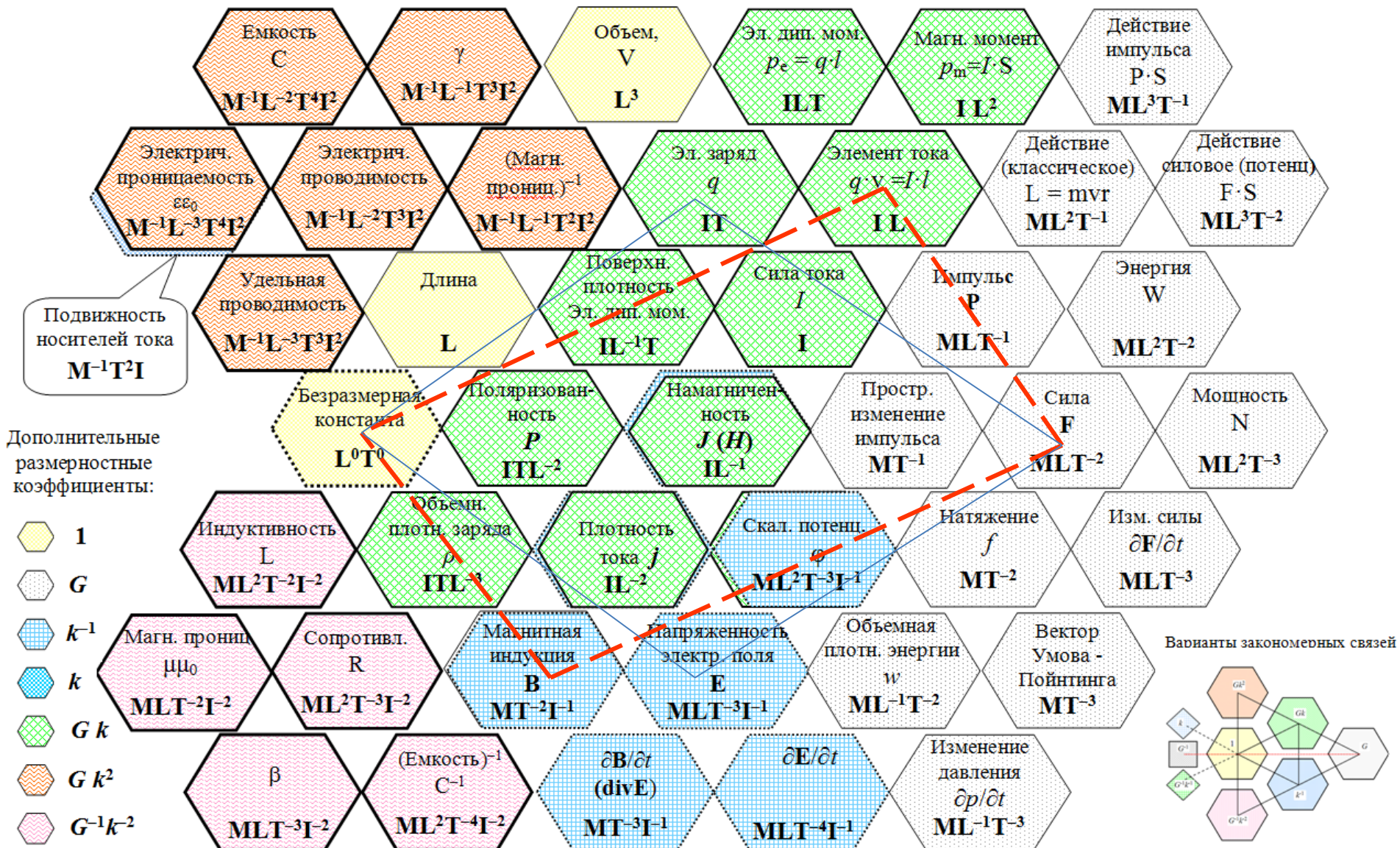
Там же: ФИЗИКА. Электромагнетизм и оптика. 2020-2021.

*По теории относительности А. Эйнштейна  
магнитного поля как такового нет – это  
релятивистский эффект электричества.*

*Магнитный поток мы должны признать  
подлинной физической реальностью, а  
не чем-то воображаемым.*

**В.Ф. Миткевич**

# Система электромагнитных величин и их взаимосвязей



Чуев А.С. - 2022

**В – силовая характеристика магнитного поля**

# АНАЛОГИИ СООТНОШЕНИЙ ЭЛЕКТРИЧЕСКИХ И МАГНИТНЫХ ВЕЛИЧИН

Чуев А.С., [chuev@mail.ru](mailto:chuev@mail.ru), МГТУ им. Н.Э. Баумана

Источники поля	
Заряды, электрические диполи, электреты	Движущиеся заряды, линейные проводники с током, петлевые токи, магниты
$q = \lambda l = \sigma S = \rho V; \quad \vec{p}_e = q\vec{l}$	$q\vec{v} = I\vec{l} = \vec{j}V; \quad \vec{p}_m = IS\vec{n}$
Основные полевые параметры без учета влияния вещественной среды	
$\varphi = \frac{W}{q_{\text{пр}}}; \quad \varphi = \frac{1}{4\pi\epsilon_0} \frac{q_0}{r};$ $\vec{E} = \frac{\vec{F}}{q_{\text{пр}}}; \quad \vec{E} = \frac{1}{4\pi\epsilon_0} \frac{q_0}{r^2} \vec{e}_r$	$ \vec{A}  = \frac{W}{ \vec{j}_{\text{пр}} V}; \quad \vec{A} = \frac{\mu_0}{4\pi r} \int \vec{j}_0 dV;$ $B = \frac{F}{j_{\text{пр}}V}; \quad d\vec{B} = \frac{\mu_0}{4\pi r^2} [\vec{j}_0 \times \vec{e}_r] dV$
Силовое поле, создаваемое диполем	
$E = \frac{1}{\epsilon_0} \frac{p_e}{4\pi r^3} \sqrt{1 + 3\cos^2 \theta}$	$B = \mu_0 \frac{p_m}{4\pi r^3} \sqrt{1 + 3\cos^2 \theta}$
Потенциальная энергия диполя, находящегося в силовом поле	
$W = -\vec{p}_e \vec{E}$	$W = -\vec{p}_m \vec{B}$
Вращательный момент сил, действующих на диполь в однородном поле	
$\vec{M} = [\vec{p}_e \times \vec{E}]$	$\vec{M} = [\vec{p}_m \times \vec{B}]$
Сила, действующая на диполь в неоднородном поле	
$F = p_e \frac{\partial E}{\partial x}$	$F = p_m \frac{\partial B}{\partial x}$

Реакция вещества на внешнее поле

$$\vec{P} = \frac{(\varepsilon - 1)\vec{D}}{\varepsilon} = \kappa\varepsilon_0\vec{E}; \quad \kappa = \varepsilon - 1;$$

$$\vec{P} = \frac{\sum \vec{p}_q}{V}$$

$$\vec{J} = \chi\vec{H}; \quad \chi = \mu - 1;$$

$$\vec{J} = \frac{\sum \vec{p}_m}{V}$$

Основные соотношения векторов

$$\vec{E} = \frac{1}{\varepsilon_0}(\vec{D} - \vec{P}) = \frac{1}{\varepsilon\varepsilon_0}\vec{D}$$

$$\vec{B} = \mu_0(\vec{H} + \vec{J}) = \mu\mu_0\vec{H}$$

Граничные условия для векторов

$$E_{\tau 1} = E_{\tau 2}; \quad D_{n1} = D_{n2}; \quad \oint \vec{E} d\vec{l} = 0; \quad \text{rot}\vec{E} = 0;$$

$$P_n = \sigma' = \frac{q'^{\text{пов}}}{S}$$

$$H_{\tau 1} = H_{\tau 2}; \quad B_{n1} = B_{n2}; \quad \text{div}\vec{B} = 0;$$

$$J_R = i'^{\text{пов}} = \frac{I'^{\text{пов}}}{2\pi R}$$

Характерные интегральные соотношения для векторов

$$\oint \vec{D} d\vec{S} = q; \quad \oint \vec{P} d\vec{S} = -q'$$

$$\oint \vec{E} d\vec{S} = \frac{1}{\varepsilon_0}(q + q') = \frac{q}{\varepsilon\varepsilon_0}$$

$$\oint \vec{H} d\vec{l} = \sum I; \quad \oint \vec{J} d\vec{l} = \sum I'$$

$$\oint \vec{B} d\vec{l} = \mu_0(I + I') = \mu\mu_0 I$$

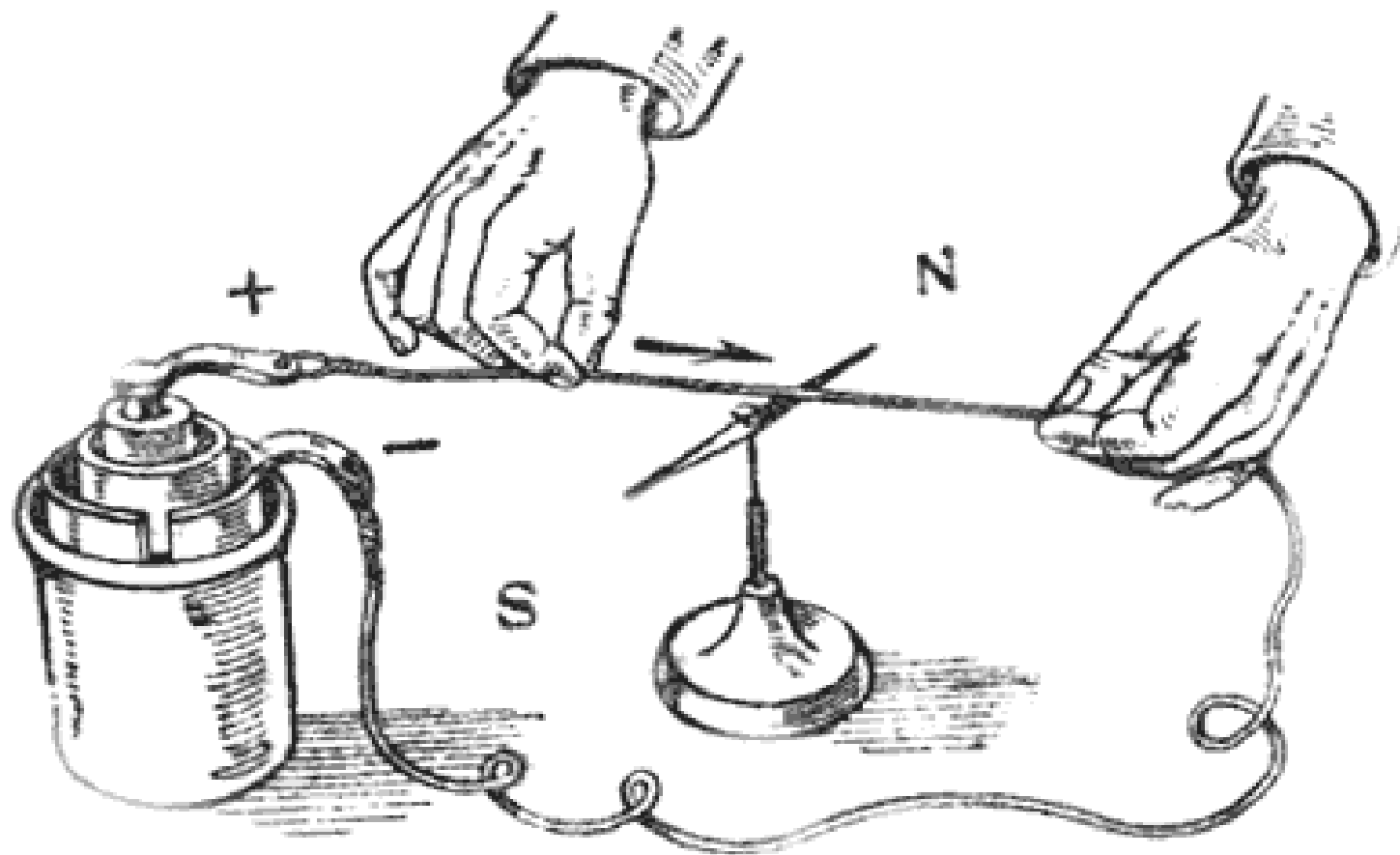
Характерные дифференциальные соотношения для векторов

$$\text{div}\vec{D} = \rho; \quad \text{div}\vec{P} = -\rho'$$

$$\text{div}\vec{E} = \frac{1}{\varepsilon_0}(\rho + \rho') = \frac{\rho}{\varepsilon\varepsilon_0}$$

$$\text{rot}\vec{H} = \vec{j}; \quad \text{rot}\vec{J} = \vec{j}'$$

$$\text{rot}\vec{B} = \mu_0(\vec{j} + \vec{j}') = \mu\mu_0\vec{j}$$



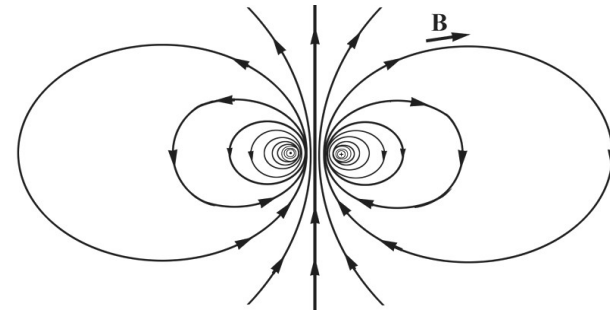
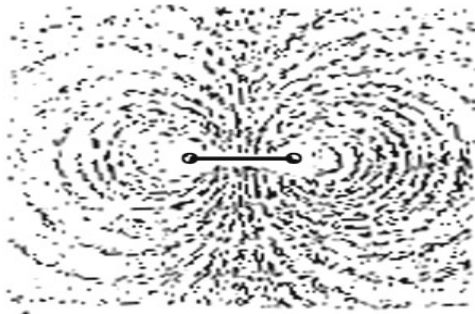
Опыт Эрстеда.



**Магнитная индукция  $B$  характеризует силовое действие магнитного поля на ток** (аналогично, характеризует **силовое действие** электрического поля на заряд).

$B$  – силовая характеристика магнитного поля, ее можно изобразить с помощью **магнитных силовых линий**.

**магнитное поле – вихревое не потенциальное поле.**



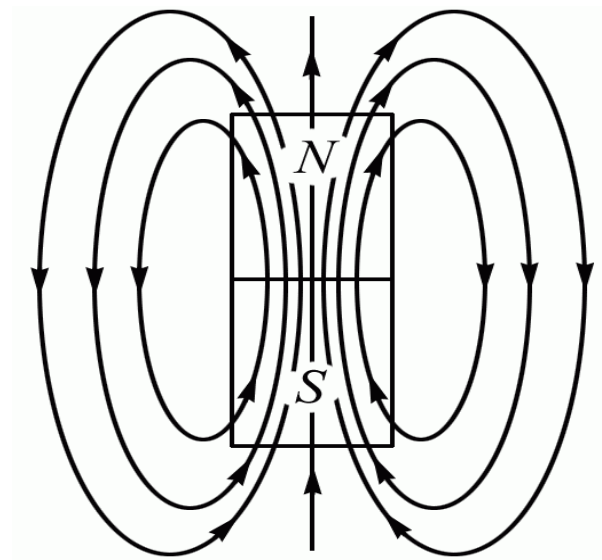
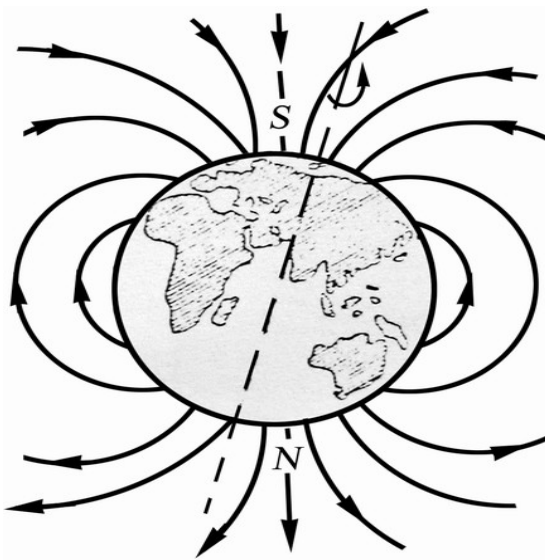
**Закон Био–Савара–Лапласа**

$$d\vec{B} = \frac{\mu\mu_0}{4\pi} \cdot \frac{|\vec{dl}, \vec{r}|}{r^3} I$$

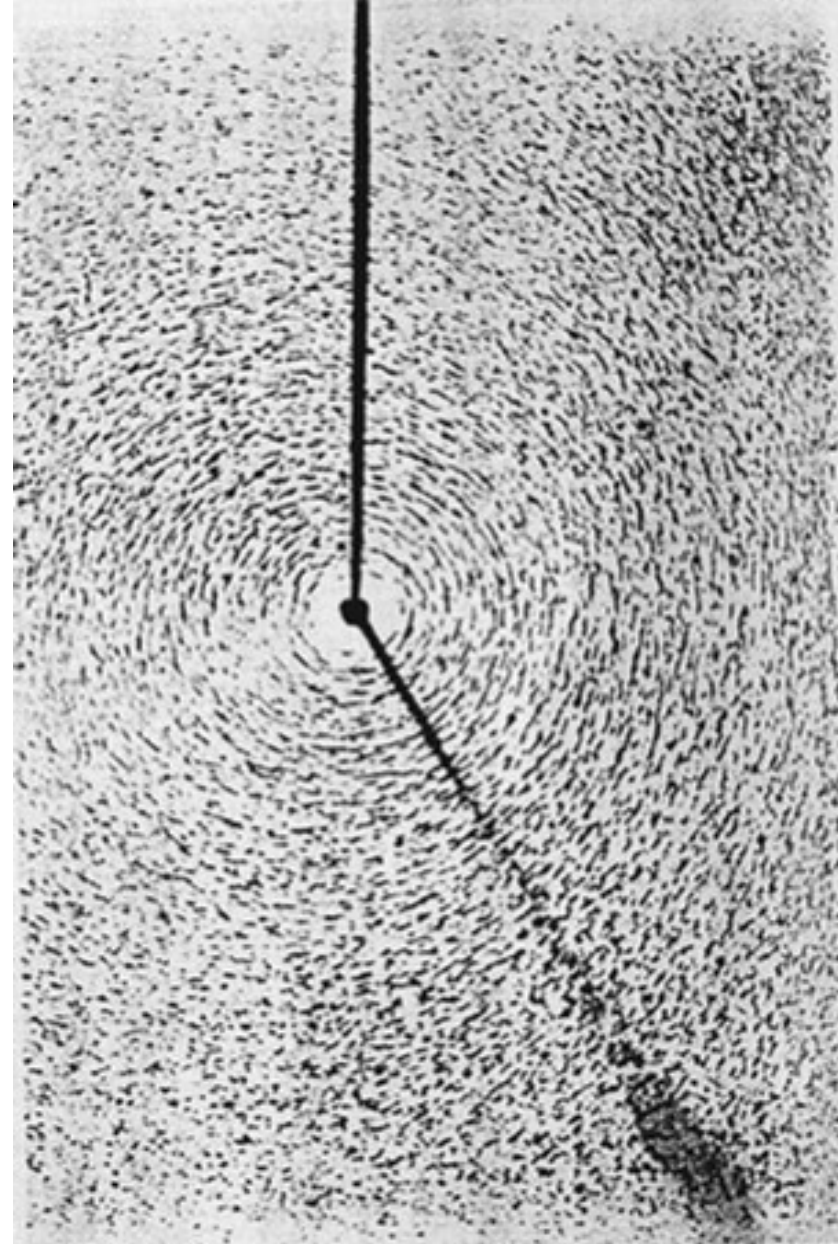


- Условились, за направление  $B$  принимать направление северного конца магнитной стрелки.
- **Силовые линии выходят из северного полюса, а входят, соответственно, в южный полюс магнита.**
- Для графического изображения полей удобно пользоваться силовыми линиями (линиями магнитной индукции).

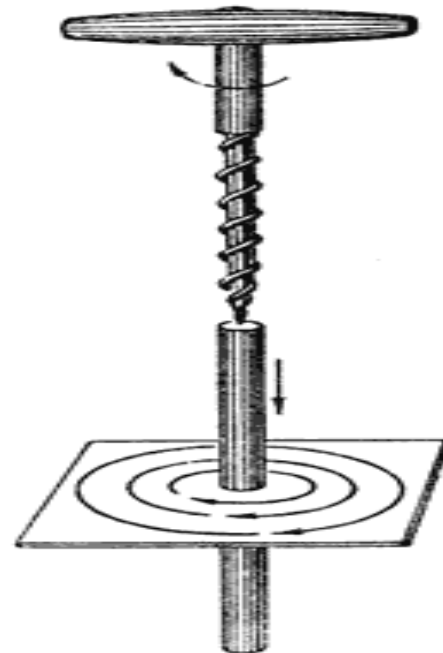
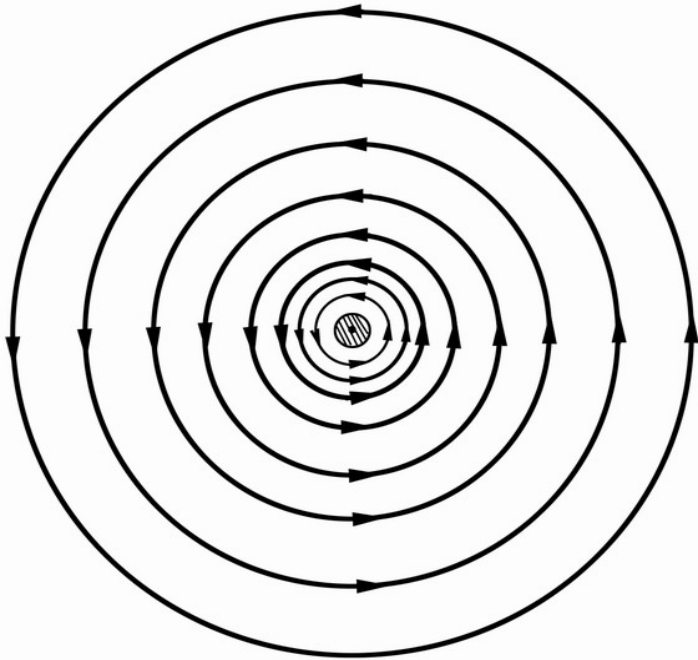
**Линиями магнитной индукции** называются кривые, касательные к которым в каждой точке совпадают с направлением вектора  $B$  в этой точке.



Конфигурацию силовых линий легко установить с помощью мелких железных опилок которые намагничиваются в исследуемом магнитном поле и ведут себя подобно маленьким магнитным стрелкам (поворачиваются вдоль силовых линий).



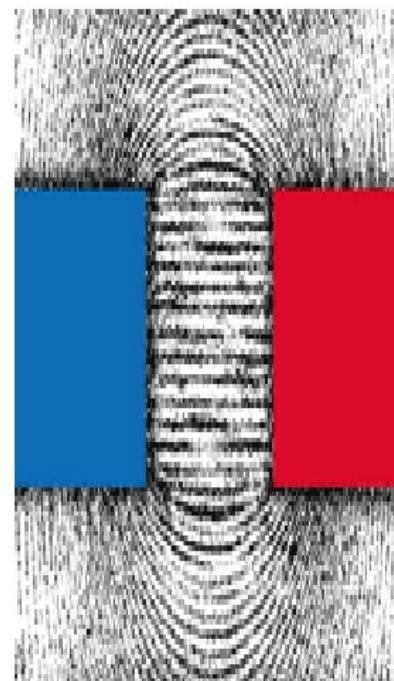
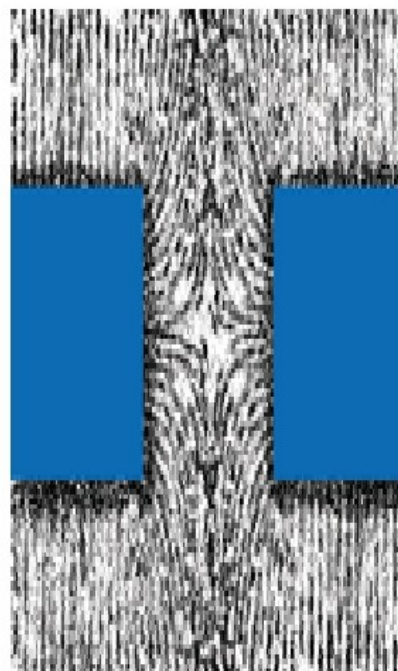
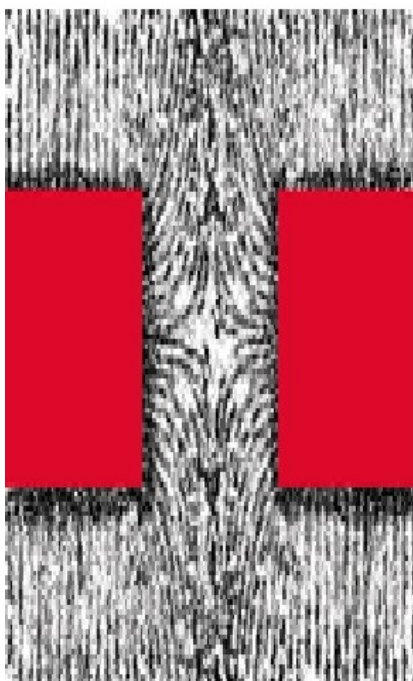
Направление  $d\mathbf{B}$  связано с направлением  $d\mathbf{l}$   
**«правилом буравчика»:**  
направление вращения головки винта дает  
направление  $d\mathbf{B}$  а, поступательное  
движение винта соответствует  
направлению **тока** в элементе.



Правило  
буравчика

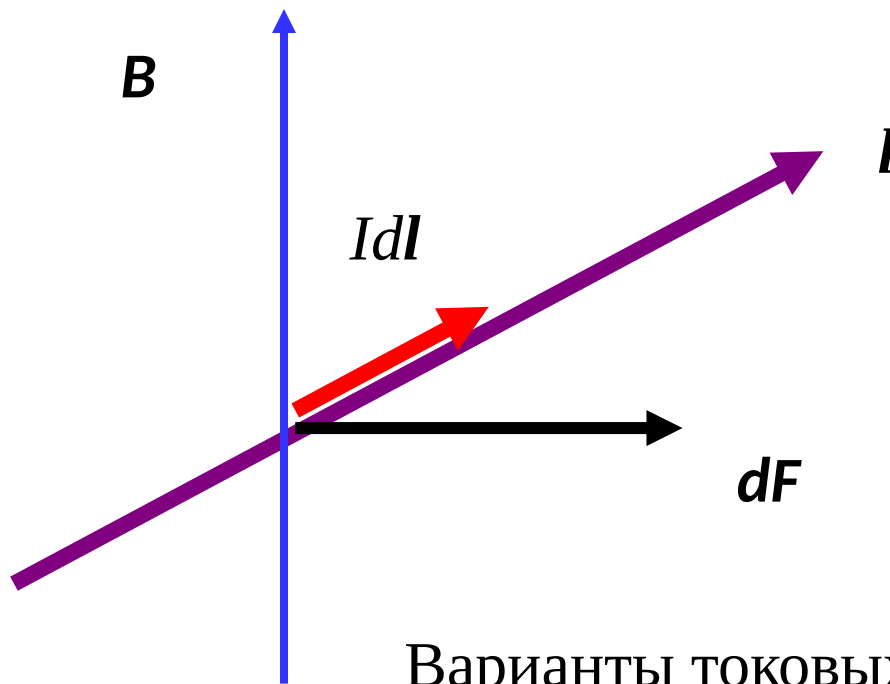
# Варианты силового проявления магнитного поля

## ВЗАИМОДЕЙСТВИЕ МАГНИТОВ



Из опыта Эрстеда следует, что проводник с током создает магнитное поле, а в веществе магнитов присутствуют электрические токи (молекулярные).

## 1. Сила Ампера – сила, действующая на проводник с током в магнитном поле



$$B = \frac{dF}{Idl}$$

Это выражение можно назвать определением вектора **B** со стороны пробного элемента ( $Idl$ )

Варианты токовых элементов:  $Idl = \mathbf{j}dV = qd\mathbf{v}$

Силы, действующие на токи в магнитном поле, называют амперовыми или силами Ампера.

### Пример. Сила взаимодействия параллельных токов.

Каждый элемент тока  $I_2$  находится в магнитном поле тока  $I_1$ , а именно в поле  $B_1 = (\mu_0/4\pi) 2I_1/b$

на единицу длины проводника с током  $I_2$  действует сила  $F_{\text{ед}} = I_2 B_1$ , или

Для бесконечны по длине проводников с токами

$$F_{\text{ед}} = \frac{\mu_0}{4\pi} \frac{2I_1 I_2}{b}.$$

Для ограниченных по длине проводников с токами

$$F = \mu_0 \frac{(Il)_1 (Il)_2}{2\pi b^2}$$

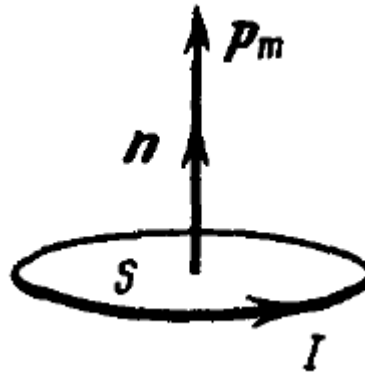
## 2. Сила Лоренца

Сила, действующая на электрический заряд  $q$  во внешнем магнитном поле. Она зависит от скорости его движения  $V$  и величины индукции магнитного поля  $B(x,y,z)$ .

$$F = q[V, B].$$



## Магнитный момент рамки (петли) с током

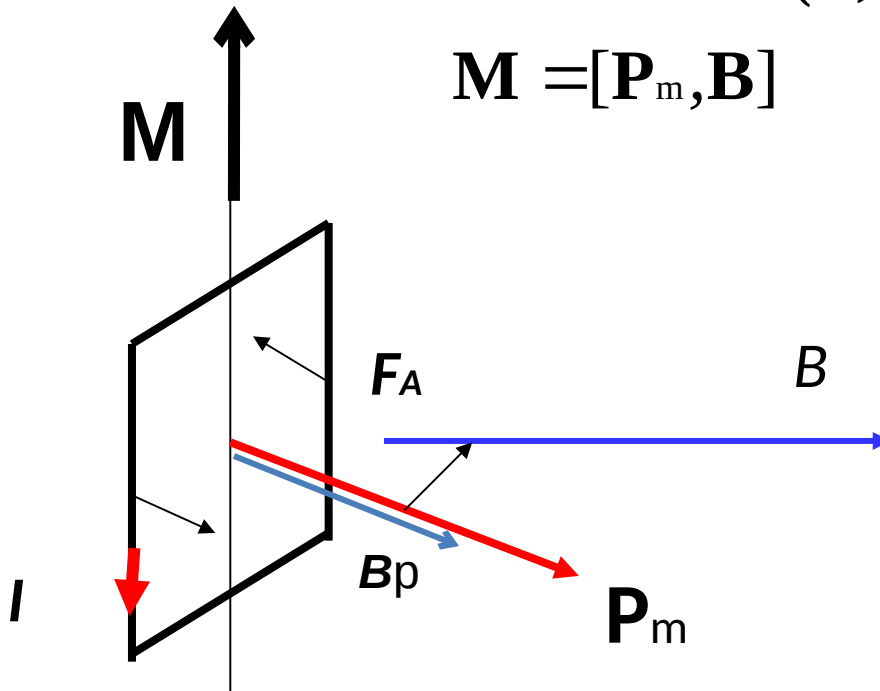


$$\vec{p}_m = I S \vec{n}$$

**3. Вращающий момент  $M$ .** Прямо пропорционален величине тока  $I$ , площади контура  $S$ , вектору  $B$  и синусу угла между направлением магнитного поля и нормали  $n$ .

$$M = ISB \sin(n, B);$$

$$\mathbf{M} = [\mathbf{P}_m, \mathbf{B}]$$



Направление  $B_p$  и  $P_m$  по правилу буравчика

$$P_m = ISn \quad - \text{магнитный момент рамки с током}$$

# Определение вектора магнитной индукции через момент силы

Отношение момента силы к магнитному моменту  $B = \frac{M}{P_m}$

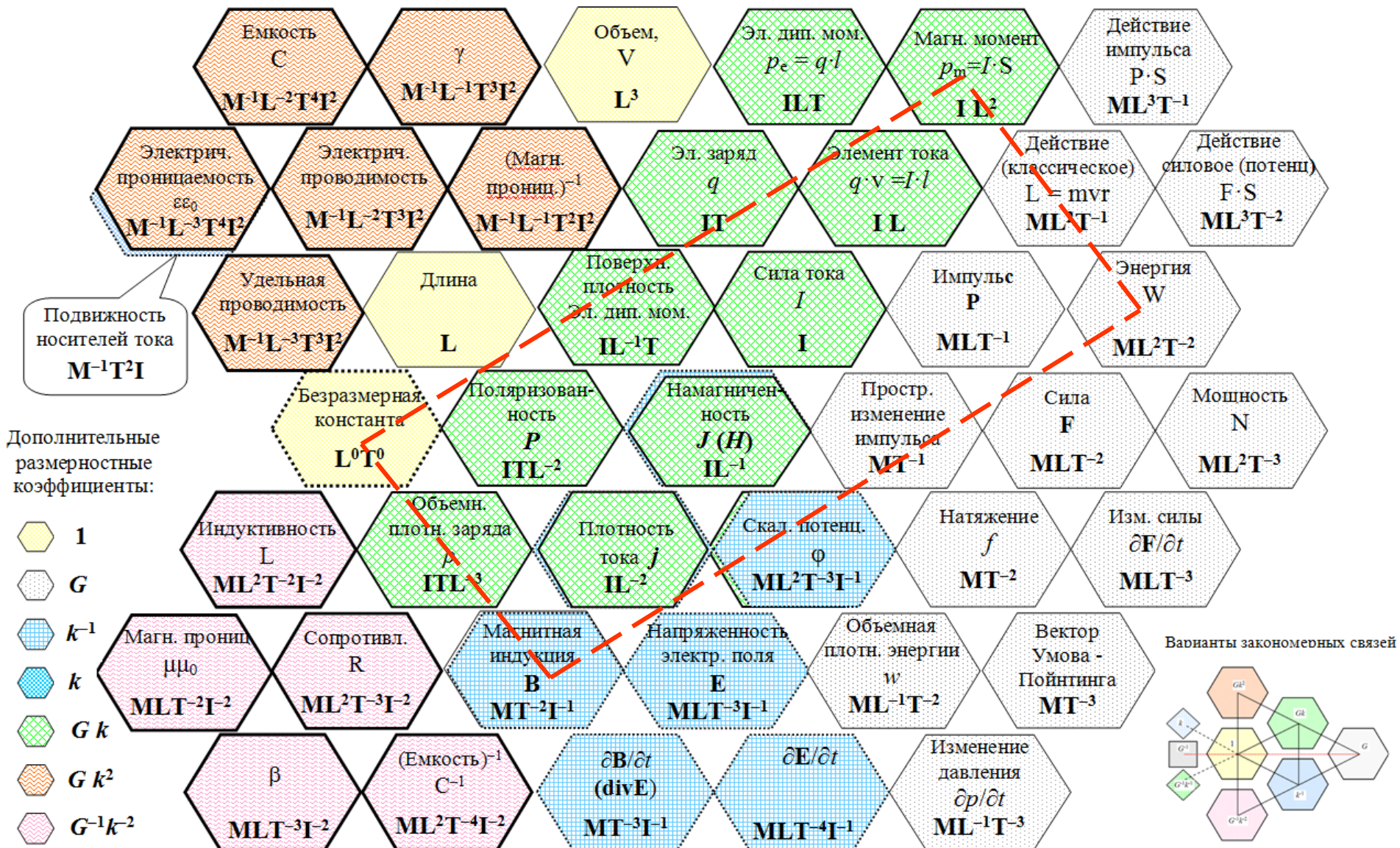
для данной точки магнитного поля будет одним и тем же и может служить характеристикой магнитного поля, называемой **магнитной индукцией**:

$$M = [P_m, B] \quad B = \frac{M_{\vec{n}}}{P_m \sin(n, B)}$$

$$[B] = Tл$$

$$\dim B = T^{-2}MI^{-1}$$

# Система электромагнитных величин и их взаимосвязей



Чув А.С. - 2022

Определение  $B$  через момент силы

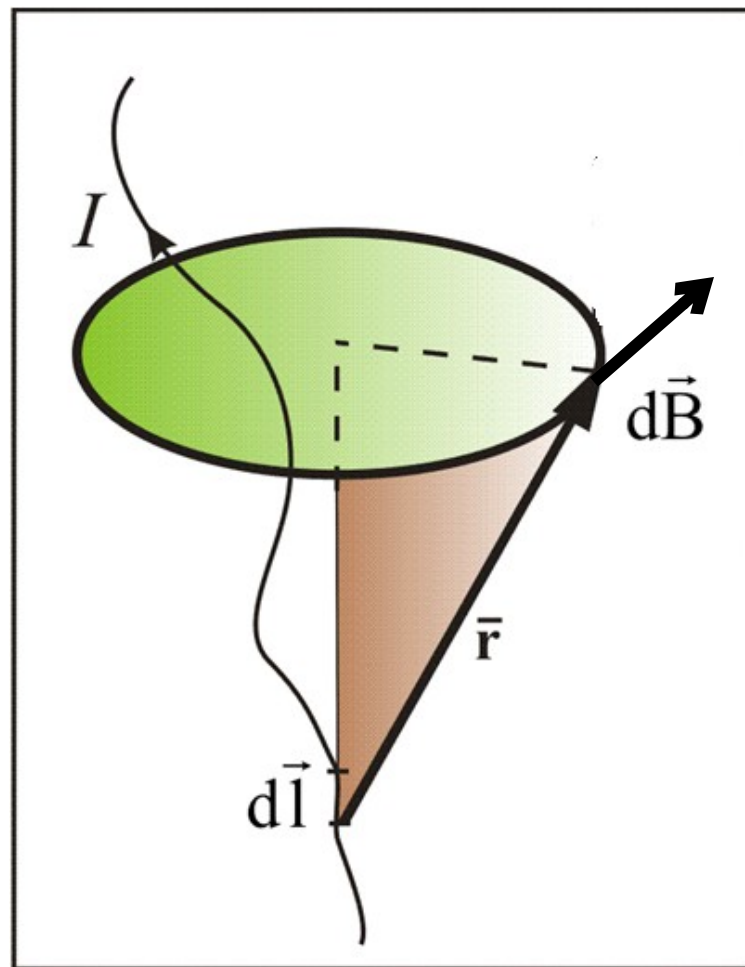
# Закон Био–Савара–Лапласа

Элемент тока длины  $dl$  создает магнитное поле с индукцией  $d\vec{B}$ :

Варианты записи:

$$\vec{dB} = \mu_0 \frac{I[dl, r]}{4\pi r^3}. \quad dB = \mu_0 \frac{Idl}{4\pi r^2}$$

$$\mu_0 = 4\pi \cdot 10^{-7} \text{ Гн/м}$$



# Закон Био-Савара-Лапласа

(Определение индукции  $\mathbf{B}$  со стороны элемента, создающего поле)

$$d\vec{B} = \frac{\mu\mu_0}{4\pi} \frac{|\vec{dl}, \vec{r}|}{r^3} I \quad \text{или} \quad dB = \frac{\mu\mu_0}{4\pi} \frac{Idl}{r^2} \sin \alpha$$

где:  $dB$  - магнитная индукция поля, создаваемого элементом проводника  $dl$  с током  $I$ ;

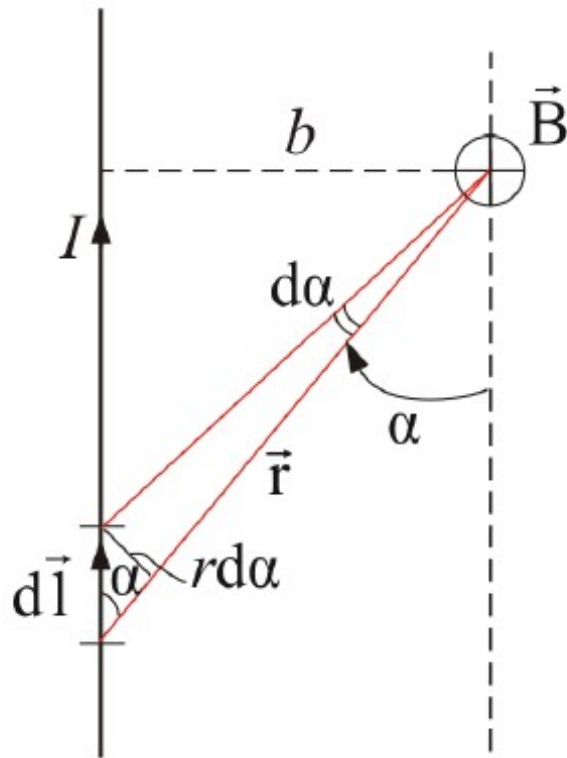
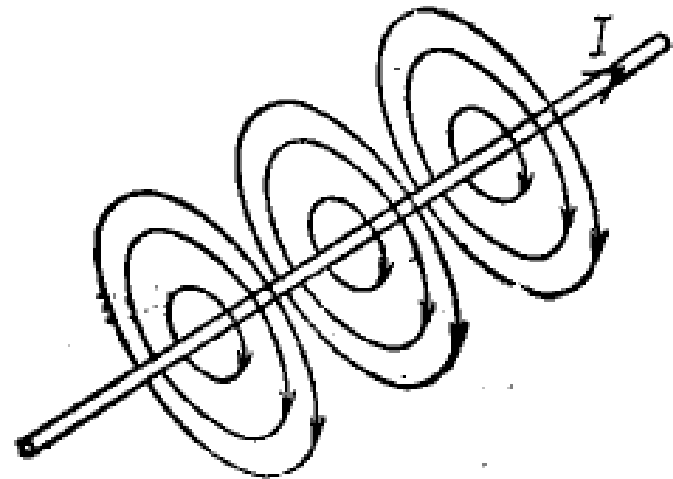
$r$  - радиус-вектор, проведенный от элемента проводника к точке, в которой определяется магнитная индукция;

$\alpha$  - угол между радиус-вектором и направлением тока в элементе проводника;

$dl$  - вектор, равный по модулю длине проводника и совпадающий по направлению с током (элемент проводника).

# Магнитное поле прямолинейного проводника с током

$$dB = \frac{\mu_0}{4\pi} \frac{I dl \sin \alpha}{r^2}$$



$$r = \frac{b}{\sin \alpha}, \quad dl = \frac{r d\alpha}{\sin \alpha} = \frac{b d\alpha}{\sin^2 \alpha}.$$



$$dB = \frac{\mu_0}{4\pi} \frac{I b d\alpha \sin \alpha \sin^2 \alpha}{b^2 \sin^2 \alpha} = \frac{\mu_0}{4\pi} \frac{I}{b} \sin \alpha d\alpha.$$

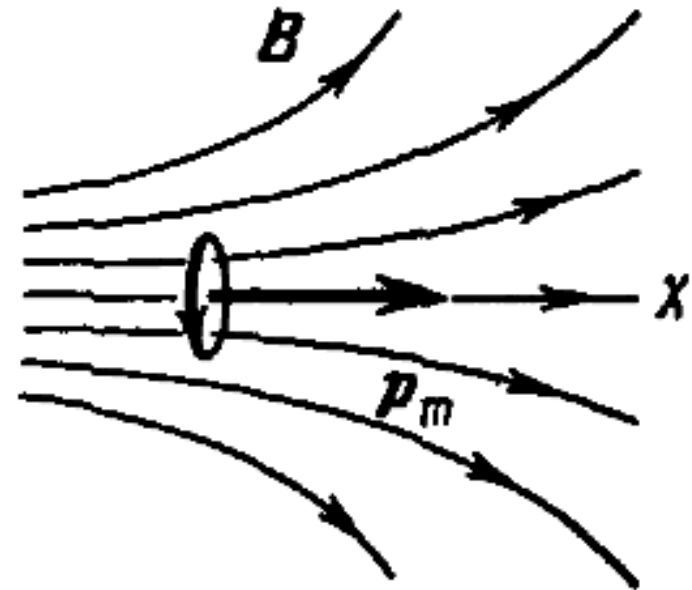
$$B = \int dB = \frac{\mu_0}{4\pi} \frac{I}{b} \int_0^\pi \sin \alpha d\alpha = \frac{\mu_0}{4\pi} \frac{2I}{b}.$$

Конечная формула для индукции, создаваемой  
прямым длинным проводником с током

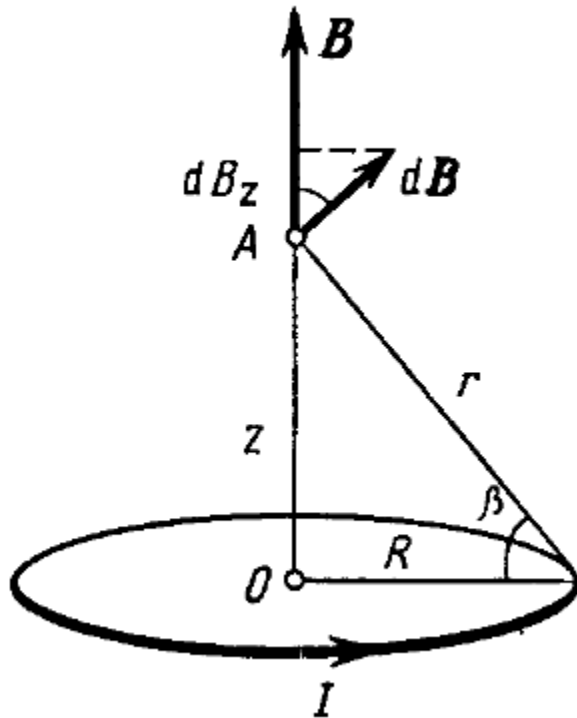
$$B = \frac{\mu_0}{4\pi} \frac{2I}{b}.$$

В неоднородном магнитном поле  
на рамку с током (дополнительно к  
вращательному моменту)  
действует сила

$$F = p_m \frac{\partial B}{\partial x}$$



# Магнитное поле на оси кругового тока



$$dB_z = dB \cos \beta = \frac{\mu_0}{4\pi} \frac{I dl}{r^2} \cos \beta,$$

$\cos \beta = R/r$  и  $r = (z^2 + R^2)^{1/2}$ , получаем

$$B = \frac{\mu_0}{4\pi} \frac{2\pi R^2 I}{(z^2 + R^2)^{3/2}}.$$

# ПОТОК ВЕКТОРА МАГНИТНОЙ ИНДУКЦИИ

Поток  $\Phi$  любой векторной величины  $\mathbf{A}$  через площадку  $S$  математически определяется как интеграл:

$$\Phi = \int_S \mathbf{A} dS$$

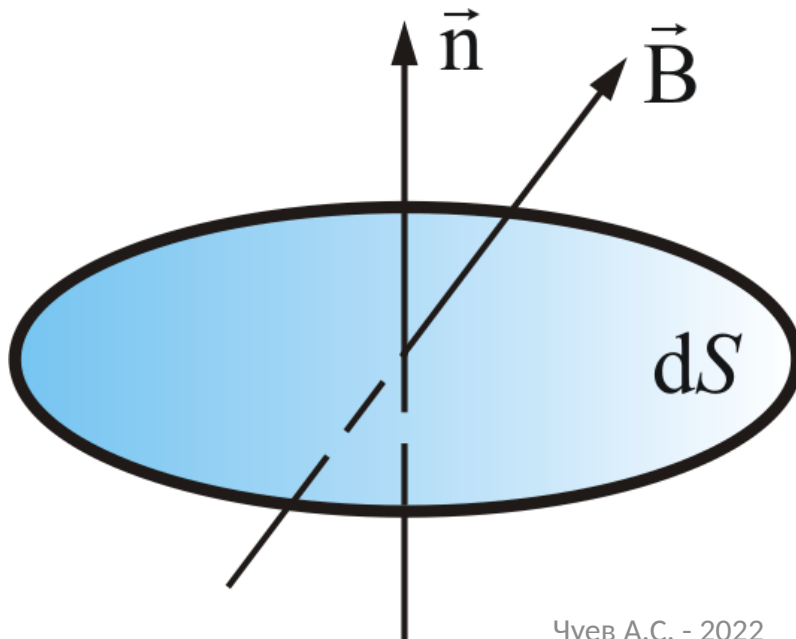
Математически поток всегда скаляр, физически – это векторная величина

# ПОТОК МАГНИТНОЙ ИНДУКЦИИ

$$\Phi = \int_S \mathbf{B}_n dS.$$

$$\Phi = \int_S B dS$$

$$d\Phi_B = B dS \cos(\angle \mathbf{n}, \mathbf{B})$$



Вебер – ед.  
потока (Вб)

# Возможное определение единицы магнитной индукции через поток:

*1 Тл равен магнитной индукции при которой магнитный поток сквозь площадку  $1 \text{ м}^2$ , перпендикулярную направлению поля, равен  $1 \text{ Вб}$ .*

# ТЕОРЕМА ГАУССА ДЛЯ ВЕКТОРА МАГНИТНОЙ ИНДУКЦИИ

Поскольку магнитных зарядов нет, то считается:

$$\oint_S \mathbf{B} d\mathbf{S} = 0$$

Интегральная  
форма

$$\operatorname{div} \mathbf{B} = 0$$

Дифференциальная  
форма



Теорема о циркуляции вектора магнитной  
индукции в интегральной и дифференциальной  
формах (для вакуума!!)

$$\oint B dl = \mu_0 \sum I$$

$$\operatorname{rot} B = \mu_0 j$$

# Определение ротора

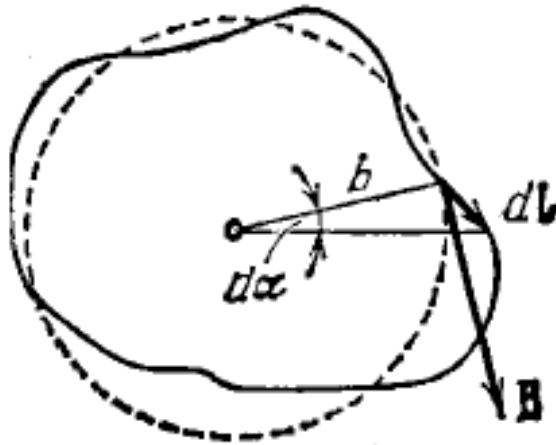
Ротор  $\text{rot } \mathbf{a}$  векторного поля  $\mathbf{a}$  — есть вектор, проекция которого  $\text{rot}_{\mathbf{n}} \mathbf{a}$  на каждое направление  $\mathbf{n}$  есть предел отношения циркуляции векторного поля по контуру  $L$ , являющемуся краем плоской площадки  $\Delta S$ , перпендикулярной этому направлению, к величине этой площадки, когда размеры площадки стремятся к нулю, а сама площадка стягивается в точку:

$$\text{rot}_{\mathbf{n}} \mathbf{a} = \lim_{\Delta S \rightarrow 0} \frac{\oint_L \mathbf{a} \cdot d\mathbf{r}}{\Delta S}.$$

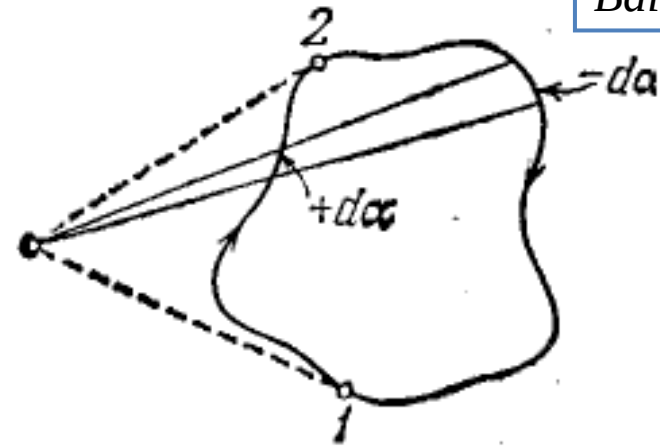
Направление обхода контура выбирается так, чтобы, если смотреть в направлении  $\mathbf{n}$ , контур  $L$  обходил по часовой стрелке<sup>[5]</sup>.

# Доказательство теоремы о циркуляции по Савельеву

По определению циркуляция равна интегралу  $\oint \mathbf{B} d\mathbf{l}$ .



a)



б)

$$Bdl = 0$$

Для  $\infty$  провода

$$B = \frac{\mu_0}{4\pi} \frac{2I}{b}.$$

$$\mathbf{B} d\mathbf{l} = B dl_B = \frac{\mu_0}{4\pi} \frac{2I}{b} b d\alpha = \frac{\mu_0 I}{2\pi} d\alpha.$$

$$\oint \mathbf{B} d\mathbf{l} = \frac{\mu_0 I}{2\pi} \oint d\alpha.$$

$$\text{В общем виде: } \oint B d\mathbf{l} = \mu \mu_0 I$$

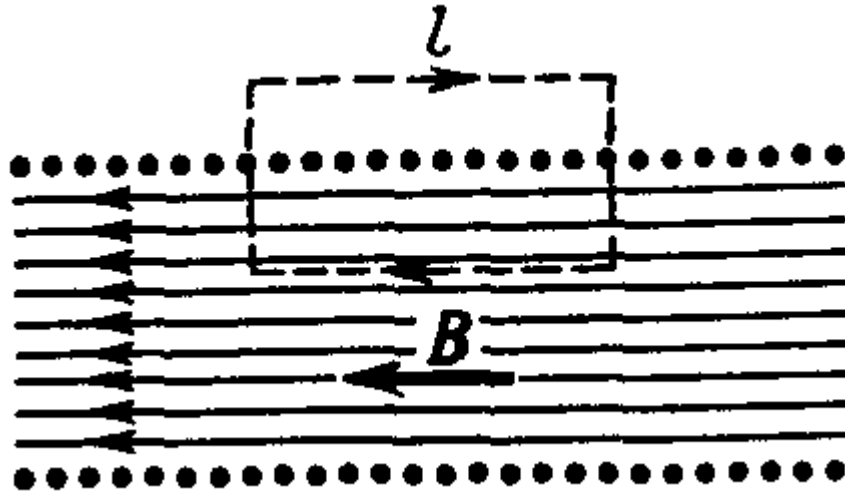
Доказательство теоремы о циркуляции в дифференциальной форме.  
Используется теорема Стокса.

$$\oint \mathbf{B} d\mathbf{l} = \mu_0 \sum_k I_k$$

$$\int_S [\nabla \mathbf{B}] d\mathbf{S} = \mu_0 \int_S \mathbf{j} d\mathbf{S}.$$

$$[\nabla \mathbf{B}] = \mu_0 \mathbf{j}.$$

# Расчет магнитного поля соленооида

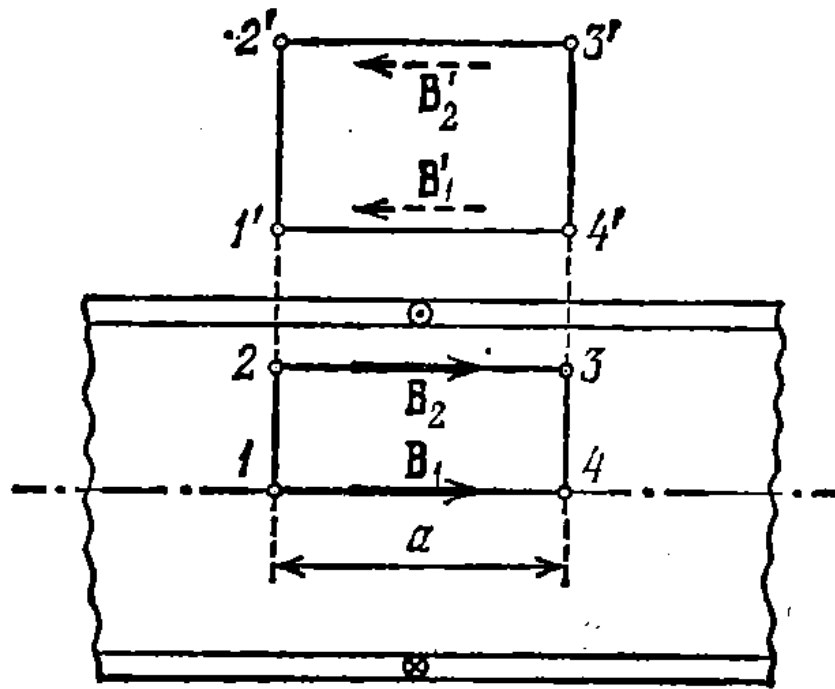


Согласно теореме о циркуляции  $Bl = \mu_0 n l I$ .

Откуда:

$$B = \mu_0 n I$$

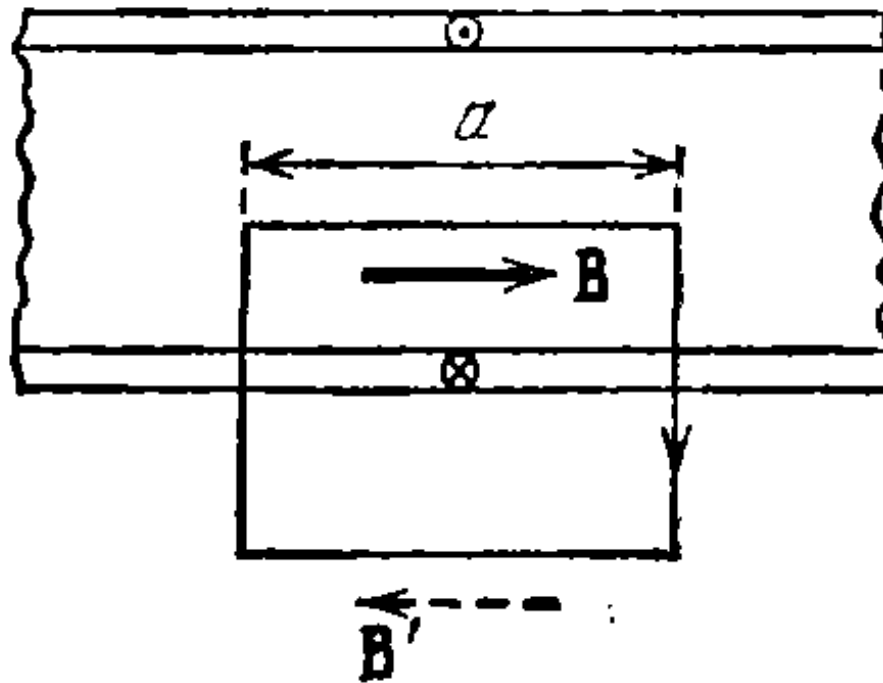
Формула верна для бесконечно длинного соленооида



Поле внутри и вне достаточно длинного соленоида однородно

**Внутри выделенных контуров обмоток с током нет.**

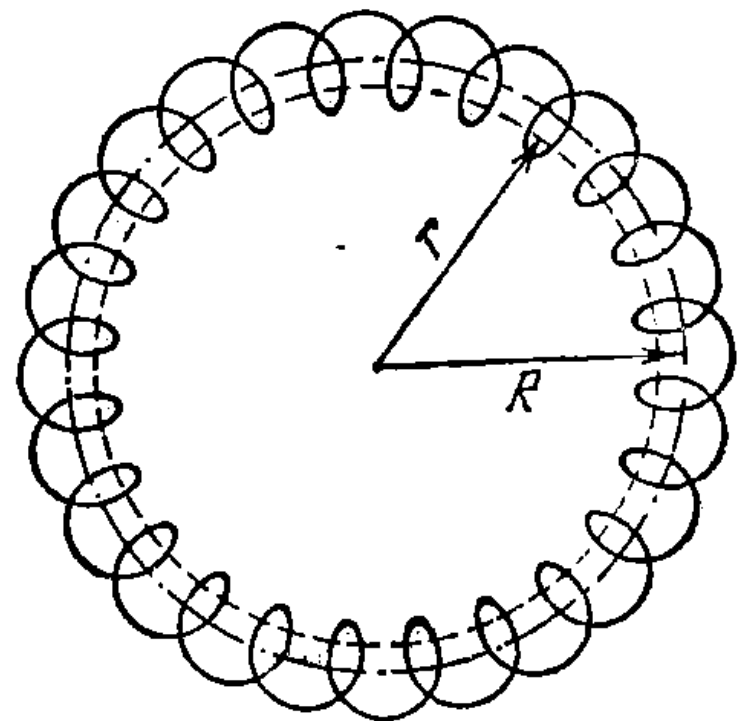
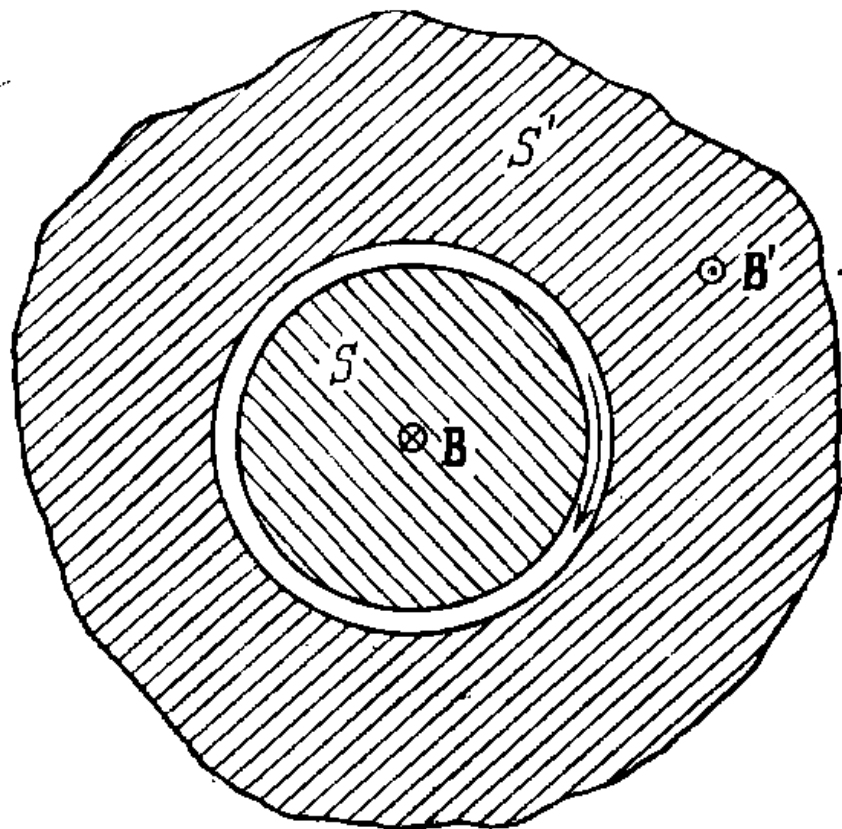
Отсюда вытекает, что  $B'_1 = B'_2$ . Расстояния от оси соленоида до участков  $1' - 4'$  и  $2' - 3'$  были взяты произвольно. Следовательно, значение  $B'$  на любом расстоянии от оси будет вне соленоида одно и то же. Таким образом, оказывается доказанной и однородность поля вне соленоида.



Циркуляция вектора  $B$  по контуру:  $a (B + B') = \mu_0 j_{\text{лин}} a$   
 после сокращения на  $a$  и замены  $j_{\text{лин}}$  на  $nI$

$$B + B' = \mu_0 n I.$$





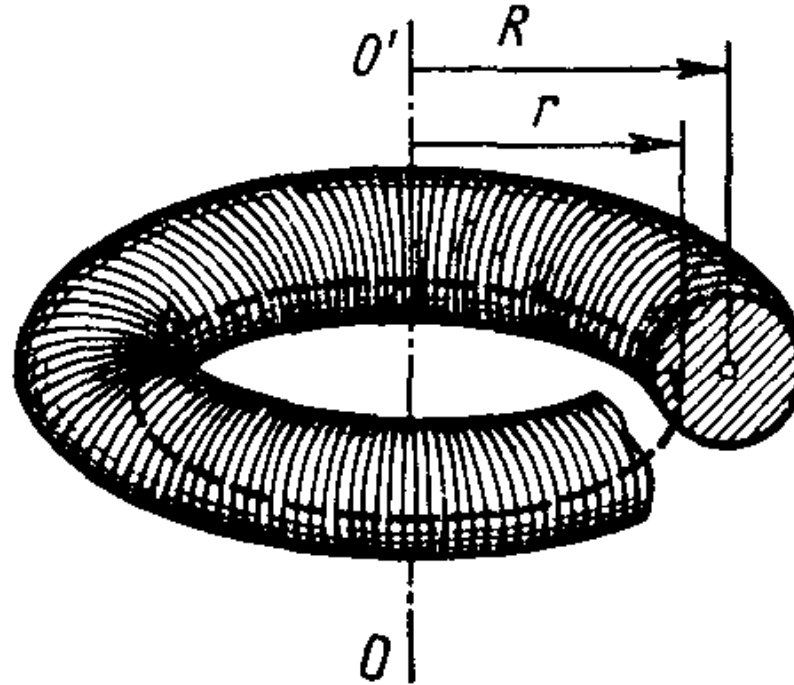
$$BS = B'S'.$$

Площадь  $S'$  - бесконечно большая

Отсюда следует, что  $B' = 0$ .

$\Phi = BS$  магнитный поток

# Расчет магнитного поля тороида



По теореме о циркуляции:  $B \cdot 2\pi r = \mu_0 N I$

откуда следует, что внутри тороида  $B = (\mu_0 / 2\pi) N I / r.$

# Магнитный поток и индуктивность

$\Psi$  – полный магнитный поток (потокосцепление):

$$\Psi = LI,$$

$$\Psi = \sum N\Phi_i$$

$\Phi_i$  – магнитный поток  $i$ -го витка соленоида,  $L$  – индуктивность.

Это общее выражение позволяет рассчитать индуктивность соленоида.

Для однородного магнитного поля

полный магнитный поток соленоида выражается следующим образом:

$$\Psi = SBN = \mu_0 \mu HSN = \mu_0 \mu HSnl \quad \text{где } S \text{ – площадь витка.}$$

методом дифференцирования и последующего интегрирования по всей длине соленоида

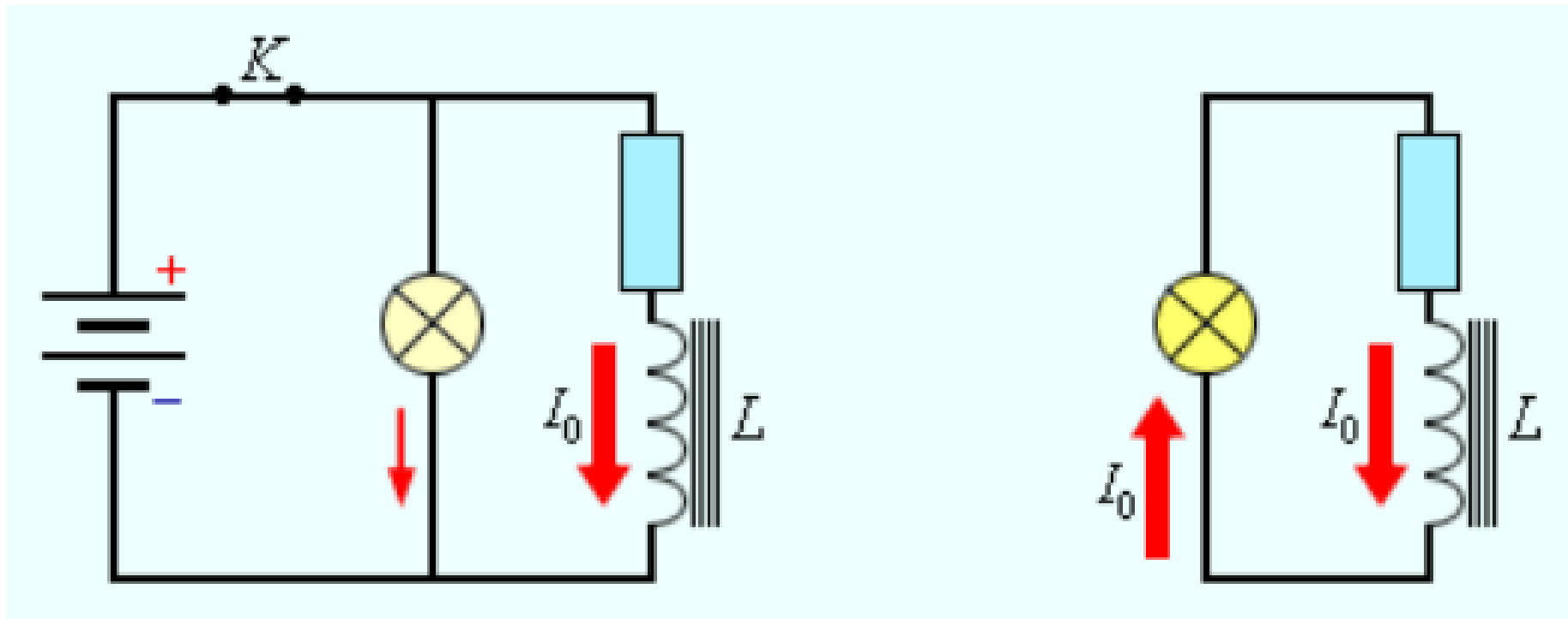
$$d\Psi = \mu_0 \mu HSn dl$$

Для достаточно длинного соленоида ( $l \gg R$ ) с учетом  $Hdl = \sum I$

$$L = \mu_0 \mu Sn^2 l$$

$$L = \mu_0 \mu n^2 V$$

# Явление самоиндукции



Магнитная энергия катушки. При размыкании ключа  $K$  лампа ярко вспыхивает

# Энергия индуктивности с током

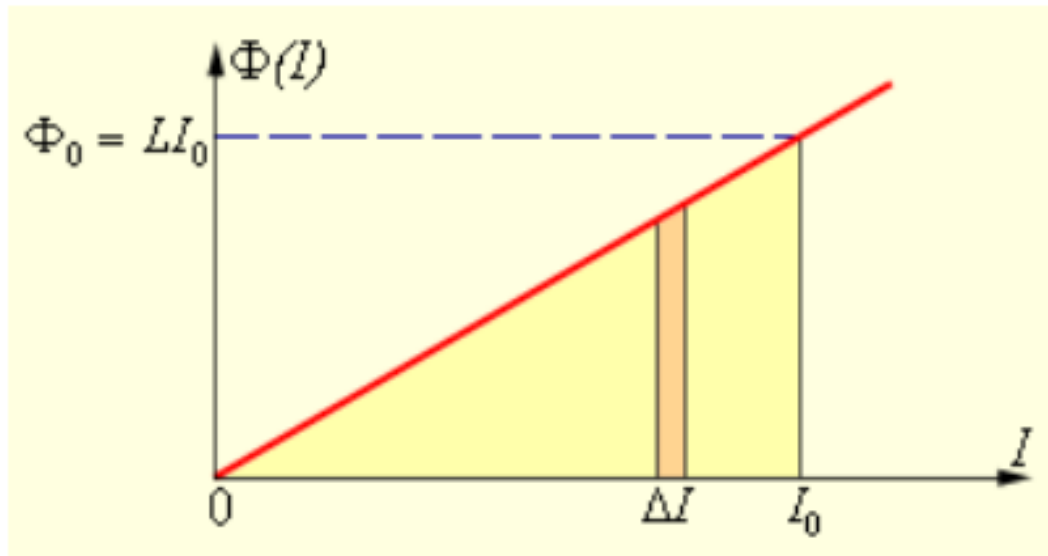
$$\mathcal{E} = -\frac{d\Phi}{dt}$$

$$I = \frac{\mathcal{E}_L}{R} = -\frac{L}{R} \frac{\Delta I}{\Delta t}$$

Выделяемая теплота

$$\Delta Q = IR^2 \Delta t$$

$$\Delta Q = -L I \Delta I = -\Phi(I) \Delta I.$$



Вычисление энергии магнитного поля

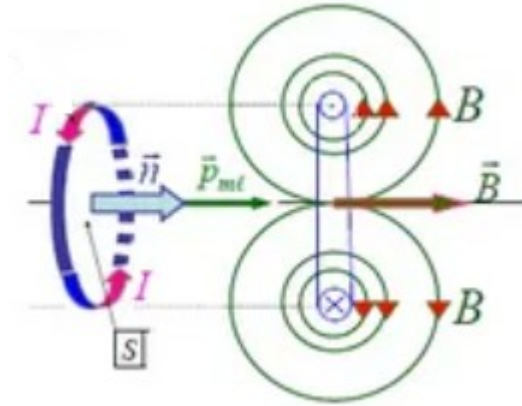
$$W_{\text{м}} = \frac{\Phi I}{2} = \frac{LI^2}{2} = \frac{\Phi^2}{2L}$$

$$W_{\text{м}} = \frac{\mu_0 \mu n^2 I^2}{2} V = \frac{B^2}{2 \mu_0 \mu} V,$$

$$w_{\text{м}} = \frac{B^2}{2 \mu_0 \mu},$$

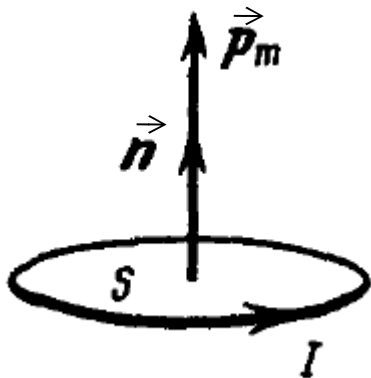
# Дополнительный материал: соотношения магнитных векторов

# Магнитный момент- аналог электрического дипольного момента



**Намагниченность** –  
объемная плотность  
суммарного магнитного  
дипольного момента

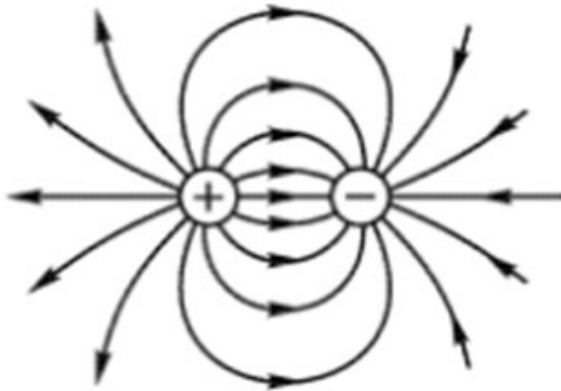
$$\vec{p}_m = I S \vec{n}$$



$$\vec{J} = \frac{1}{\Delta V} \sum_{i=1}^n \vec{P}_{m i}$$

# Аналогии электромагнетизма

$$\vec{p}_e = q\vec{l}$$



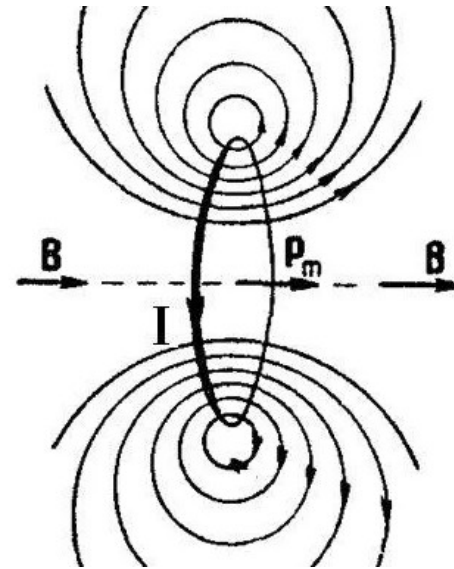
$$\varphi = \frac{1}{4\pi\epsilon\epsilon_0} \frac{\vec{p}_e \cdot \vec{e}_r}{r^2}$$

$$\vec{p}'_e = -\vec{p}_e$$

$$\vec{E} = \frac{1}{4\pi\epsilon\epsilon_0} \frac{\vec{p}'_e - 3\vec{e}_r(\vec{e}_r \cdot \vec{p}'_e)}{r^3}$$

$$E = \frac{1}{\epsilon\epsilon_0} \frac{p_e}{4\pi r^3} \sqrt{1 + 3\cos^2\theta}$$

$$\vec{p}_m = IS\vec{n}$$



$$\vec{A} = \frac{\mu\mu_0}{4\pi} \frac{\vec{p}_m \times \vec{e}_r}{r^2}$$

$$\vec{B} = \frac{\mu\mu_0}{4\pi} \frac{3\vec{e}_r(\vec{e}_r \cdot \vec{p}_m) - \vec{p}_m}{r^3}$$

$$B = \frac{\mu\mu_0}{4\pi} \frac{p_m}{r^3} \sqrt{1 + 3\cos^2\theta}$$



# АНАЛОГИИ СООТНОШЕНИЙ ЭЛЕКТРИЧЕСКИХ И МАГНИТНЫХ ВЕЛИЧИН

Чуев А.С., [chuev@mail.ru](mailto:chuev@mail.ru), МГТУ им. Н.Э. Баумана

Источники поля	
Заряды, электрические диполи, электреты	Движущиеся заряды, линейные проводники с током, петлевые токи, магниты
$q = \lambda l = \sigma S = \rho V; \quad \vec{p}_e = q\vec{l}$	$q\vec{v} = I\vec{l} = \vec{j}V; \quad \vec{p}_m = IS\vec{n}$
Основные полевые параметры без учета влияния вещественной среды	
$\varphi = \frac{W}{q_{\text{пр}}}; \quad \varphi = \frac{1}{4\pi\epsilon_0} \frac{q_0}{r};$ $\vec{E} = \frac{\vec{F}}{q_{\text{пр}}}; \quad \vec{E} = \frac{1}{4\pi\epsilon_0} \frac{q_0}{r^2} \vec{e}_r$	$ \vec{A}  = \frac{W}{ \vec{j}_{\text{пр}} V}; \quad \vec{A} = \frac{\mu_0}{4\pi r} \int \vec{j}_0 dV;$ $B = \frac{F}{j_{\text{пр}}V}; \quad d\vec{B} = \frac{\mu_0}{4\pi r^2} [\vec{j}_0 \times \vec{e}_r] dV$
Силовое поле, создаваемое диполем	
$E = \frac{1}{\epsilon_0} \frac{p_e}{4\pi r^3} \sqrt{1 + 3\cos^2 \theta}$	$B = \mu_0 \frac{p_m}{4\pi r^3} \sqrt{1 + 3\cos^2 \theta}$
Потенциальная энергия диполя, находящегося в силовом поле	
$W = -\vec{p}_e \vec{E}$	$W = -\vec{p}_m \vec{B}$
Вращательный момент сил, действующих на диполь в однородном поле	
$\vec{M} = [\vec{p}_e \times \vec{E}]$	$\vec{M} = [\vec{p}_m \times \vec{B}]$
Сила, действующая на диполь в неоднородном поле	
$F = p_e \frac{\partial E}{\partial x}$	$F = p_m \frac{\partial B}{\partial x}$

Реакция вещества на внешнее поле

$$\vec{P} = \frac{(\varepsilon - 1)\vec{D}}{\varepsilon} = \kappa \varepsilon_0 \vec{E}; \quad \kappa = \varepsilon - 1;$$

$$\vec{P} = \frac{\sum \vec{p}_q}{V}$$

$$\vec{J} = \chi \vec{H}; \quad \chi = \mu - 1;$$

$$\vec{J} = \frac{\sum \vec{p}_m}{V}$$

Основные соотношения векторов

$$\vec{E} = \frac{1}{\varepsilon_0} (\vec{D} - \vec{P}) = \frac{1}{\varepsilon \varepsilon_0} \vec{D}$$

$$\vec{B} = \mu_0 (\vec{H} + \vec{J}) = \mu \mu_0 \vec{H}$$

Граничные условия для векторов

$$E_{\tau 1} = E_{\tau 2}; \quad D_{n1} = D_{n2}; \quad \oint \vec{E} d\vec{l} = 0; \quad \text{rot} \vec{E} = 0;$$

$$P_n = \sigma' = \frac{q'^{\text{пов}}}{S}$$

$$H_{\tau 1} = H_{\tau 2}; \quad B_{n1} = B_{n2}; \quad \text{div} \vec{B} = 0;$$

$$J_R = i'^{\text{пов}} = \frac{I'^{\text{пов}}}{2\pi R}$$

Характерные интегральные соотношения для векторов

$$\oint \vec{D} d\vec{S} = q; \quad \oint \vec{P} d\vec{S} = -q'$$

$$\oint \vec{E} d\vec{S} = \frac{1}{\varepsilon_0} (q + q') = \frac{q}{\varepsilon \varepsilon_0}$$

$$\oint \vec{H} d\vec{l} = \sum I; \quad \oint \vec{J} d\vec{l} = \sum I'$$

$$\oint \vec{B} d\vec{l} = \mu_0 (I + I') = \mu \mu_0 I$$

Характерные дифференциальные соотношения для векторов

$$\text{div} \vec{D} = \rho; \quad \text{div} \vec{P} = -\rho'$$

$$\text{div} \vec{E} = \frac{1}{\varepsilon_0} (\rho + \rho') = \frac{\rho}{\varepsilon \varepsilon_0}$$

$$\text{rot} \vec{H} = \vec{j}; \quad \text{rot} \vec{J} = \vec{j}'$$

$$\text{rot} \vec{B} = \mu_0 (\vec{j} + \vec{j}') = \mu \mu_0 \vec{j}$$

# Вектор напряженности магнитного поля $H$

Термин *напряженность* появился первым, затем ввели понятие магнитной индукции, обозначив ее буквой  $B$

$$B = \mu \mu_0 H$$

Для вакуума  $B = \mu_0 H$

В системе СГС *магнитная индукция* считается макроскопическим полем, а *напряженность* микроскопическим (атомно-молекулярным) магнитным полем, т.е., по сути, различий нет.

$$\oint \mathbf{H} d\mathbf{l} = I.$$

Из этого выражения, используя теорему Стокса  $\oint_{\Gamma} \mathbf{H} d\mathbf{l} = \int_S \text{rot} \mathbf{H} dS$

Учитывая, что:  $I = \int_S \mathbf{j} dS$  Получим:

**Дифференциальная форма теоремы о циркуляции вектора  $\mathbf{H}$ :**

$$\nabla \times \mathbf{H} = \mathbf{j},$$

$$\text{rot} \mathbf{H} = \mathbf{j}$$

## Теорема о циркуляции вектора $\mathbf{H}$

$$\oint \mathbf{B} \, d\mathbf{l} = \mu_0 (I + I'),$$

где  $I$  и  $I'$  — токи проводимости и намагничивания, охватываемые заданным контуром  $\Gamma$ .

С учетом:  $\oint \mathbf{J} \, d\mathbf{l} = I'.$

Можно записать:  $\oint \left( \frac{\mathbf{B}}{\mu_0} - \mathbf{J} \right) d\mathbf{l} = I.$

$$\mathbf{H} = \frac{\mathbf{B}}{\mu_0} - \mathbf{J},$$

$$\oint \mathbf{H} \, d\mathbf{l} = I.$$

Теорема о циркуляции вектора  
напряженности магнитного поля в  
интегральной и дифференциальной формах  
(формулы верны всегда)

$$\oint H dl = \sum I$$

$$\text{rot} H = j$$

## Связь между векторами $\mathbf{J}$ и $\mathbf{H}$ .

$$\mathbf{J} = \chi \mathbf{H},$$

где  $\chi$  — магнитная восприимчивость,

## Связь между $\mathbf{B}$ и $\mathbf{H}$ .

$$\mathbf{H} = \frac{\mathbf{B}}{\mu_0} - \mathbf{J},$$

преобразуем в  $(1 + \chi) \mathbf{H} = \mathbf{B}/\mu_0$ . Отсюда

$$\mathbf{B} = \mu \mu_0 \mathbf{H},$$

где  $\mu$  — магнитная проницаемость среды.

$$\mu = 1 + \chi.$$

# Соотношения для вектора намагниченности

$$\oint_L (\vec{J}, d\vec{l}) = I'$$

$$\text{rot } \vec{J} = \vec{j}'$$



# Вектор ***B*** суммарный *полево́й* вектор

$$B = \mu \mu_0 H = \mu_0 (H + J)$$

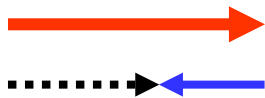
$$\oint \mathbf{B} \, d\mathbf{l} = \mu_0 (I + I'),$$

$$\operatorname{rot} B = \mu \mu_0 j = \mu_0 (j + j')$$

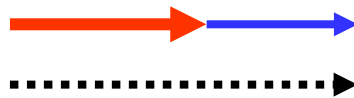
Аддитивность интегральной и дифференциальной функций подтверждает правильность первой формулы

# Соотношения магнитных векторов внутри магнетиков

Диамагнетики



Парамагнетики



Ферромагнетики



Обозначения:



Вектор  $H$  - первичная намагниченность пространства от токов проводимости



Вектор  $J$  - намагниченность магнетика



Вектор  $B/\mu_0$  (составной результирующий вектор)

# Пример из ДЗ

$$\oint_L (\vec{H}, d\vec{l}) = I$$

$$\oint_L (\vec{H}, d\vec{l}) = \int_S (\vec{j}, d\vec{s})$$

$$H 2\pi r_a = j(\pi r_a^2 - \pi R^2)$$

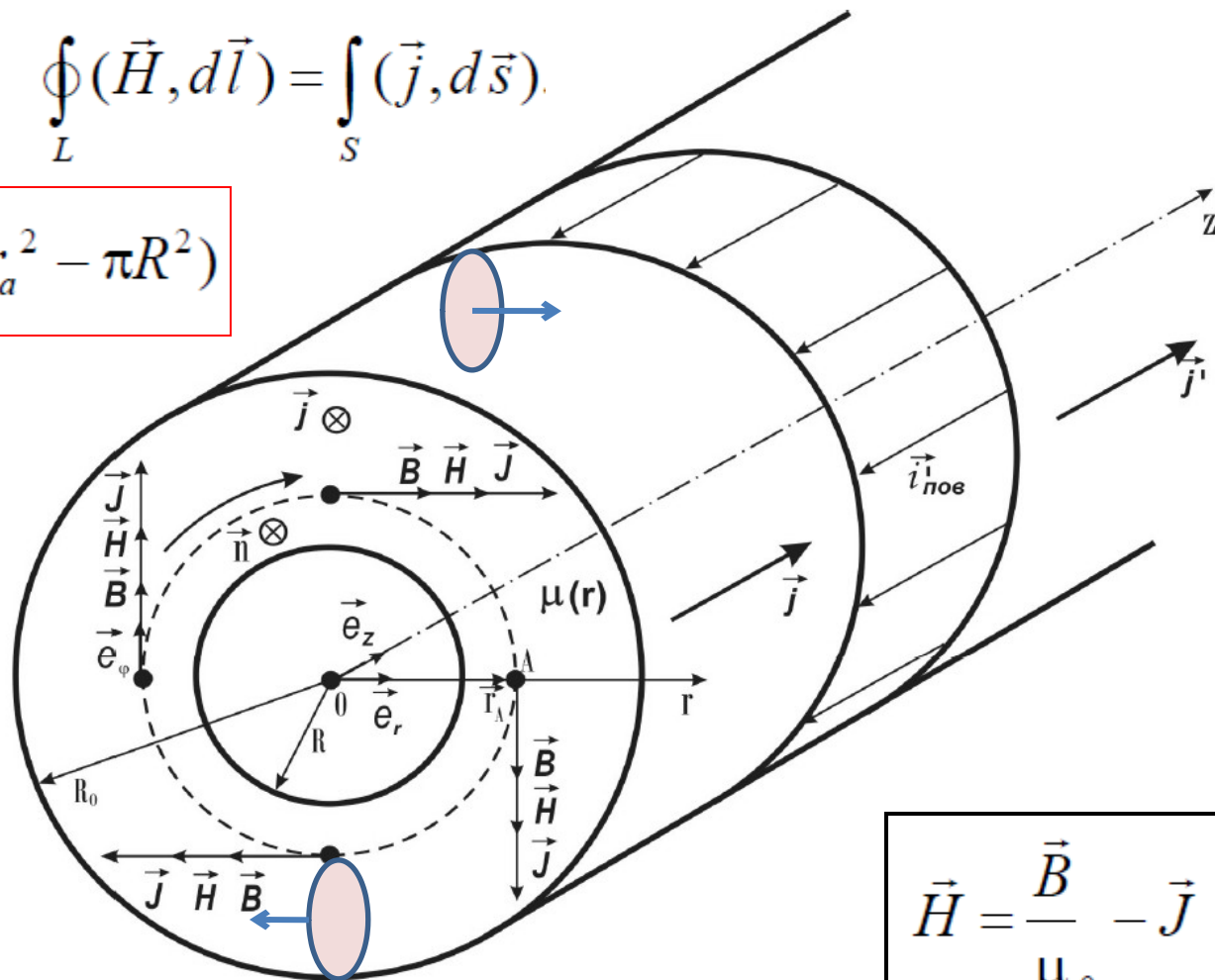
$$B = \mu \mu_0 H$$

$$\vec{J} = \chi \vec{H}$$

$$\chi = \mu - 1$$

$$\oint_L (\vec{J}, d\vec{l}) = I'$$

$$\text{rot } \vec{J} = \vec{j}'$$



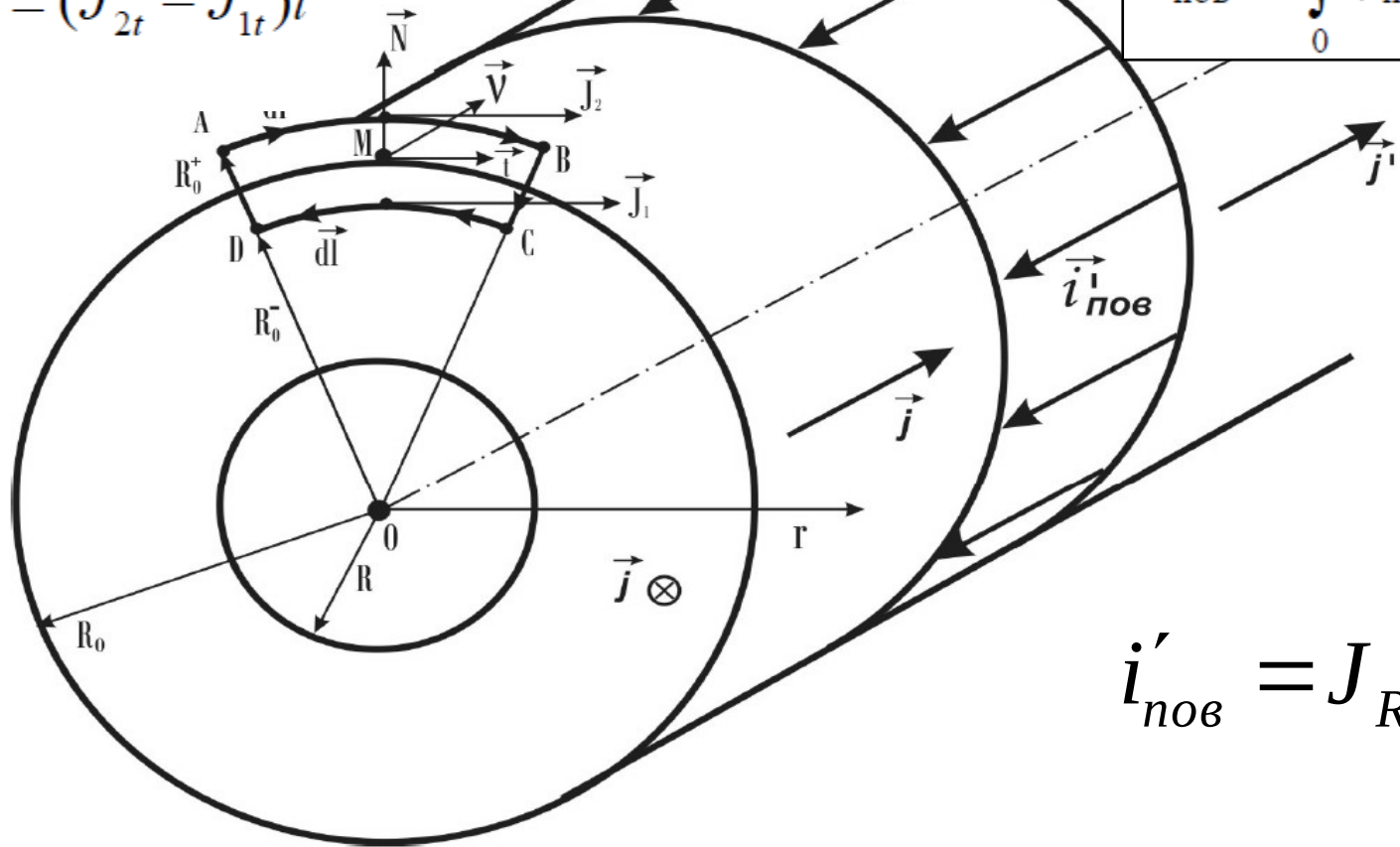
$$\vec{H} = \frac{\vec{B}}{\mu_0} - \vec{J}$$

Два варианта учета среды:  $\mu$  или  $I'$

$$\oint B dl = \mu \mu_0 \sum I = \mu_0 \sum (I + I')$$

$$dI'_{\text{поб}} = (\vec{i}'_{\text{поб}}, \vec{v}) dl = (\vec{i}'_{\text{поб}})_v dl.$$

$$I'_{\text{поб}} = \int_0^l (\vec{i}'_{\text{поб}})_v dl.$$

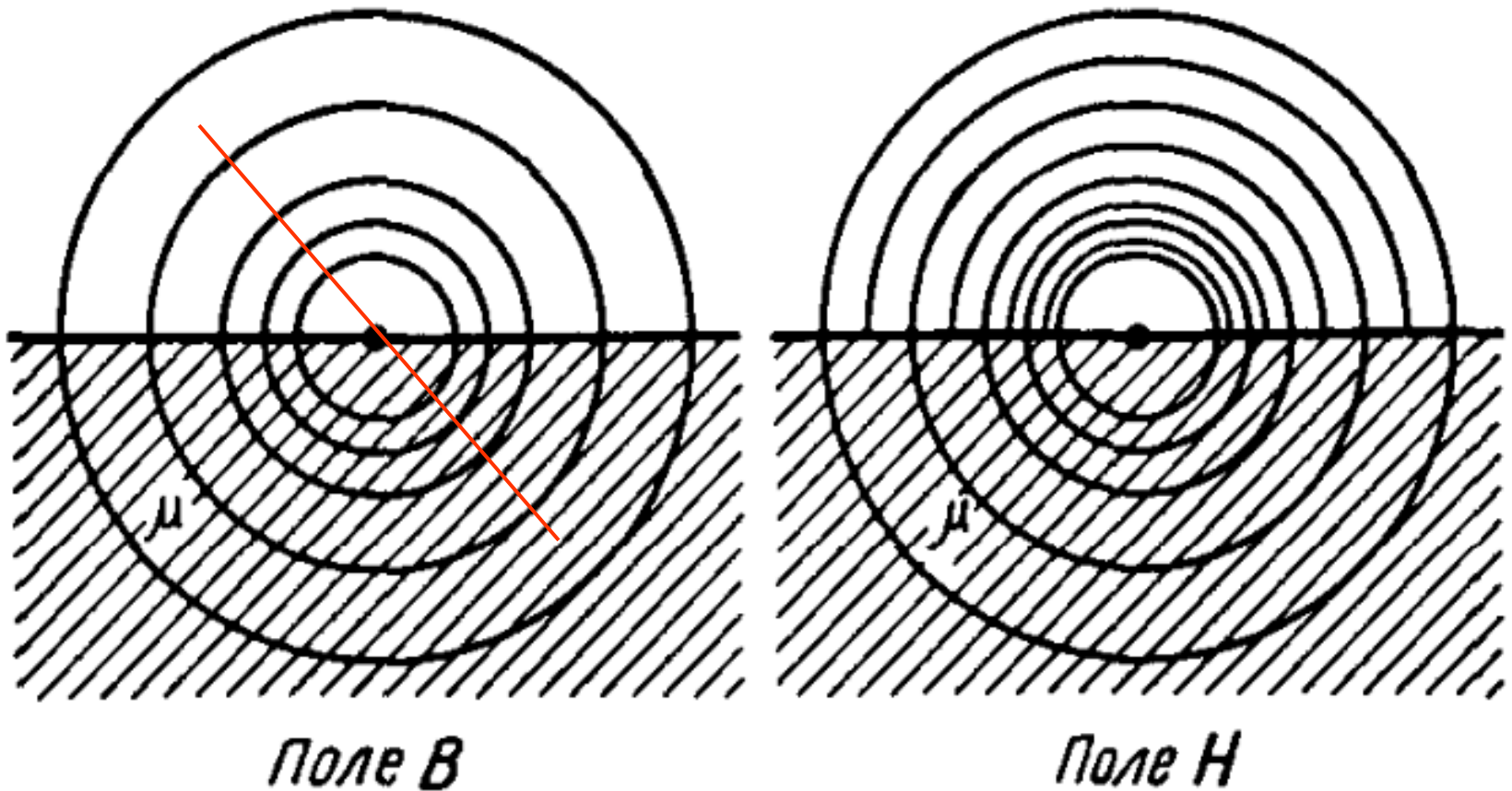


$$\dot{l}'_{no\theta} = J_{R_0}$$

$$I'_{\text{сум}} = \int_0^{2\pi R_0} i'_{\text{нов}} dl + \int_S j' dS = 0 \quad \text{Проверка правильности решения}$$

# ФАКУЛЬТАТИВНЫЙ МАТЕРИАЛ ЛЕКЦИИ

# Парадокс изображения магнитных полей

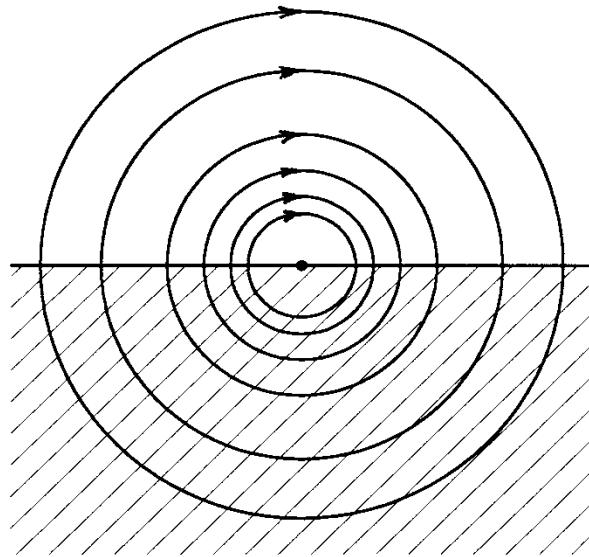


Закон Б-С-Л не выполняется, так как В зависит от  $\mu$

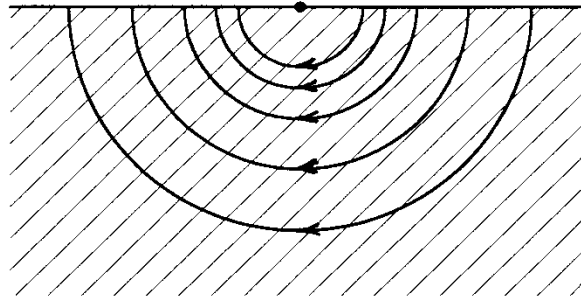
$$\vec{dB} = \frac{\mu\mu_0}{4\pi} \frac{I[dl, r]}{r^3}$$

$$\vec{dH} = \frac{I[dl, r]}{4\pi r^3}.$$

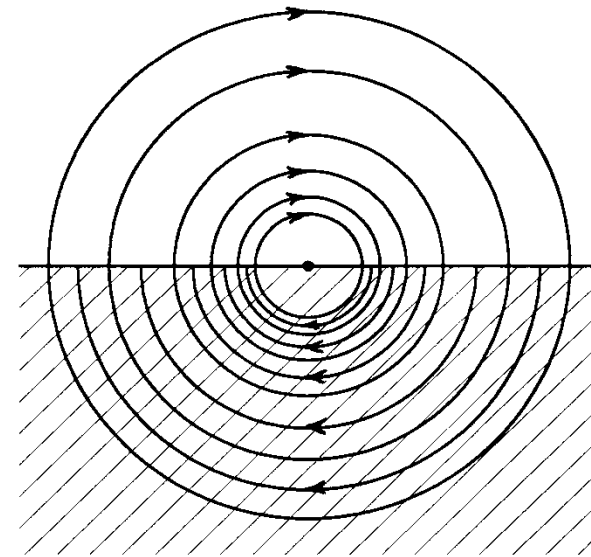
# Верные изображения магнитных полей от проводника с током на границе 2-х сред



*Поле  $H$*



*Поле  $J$*

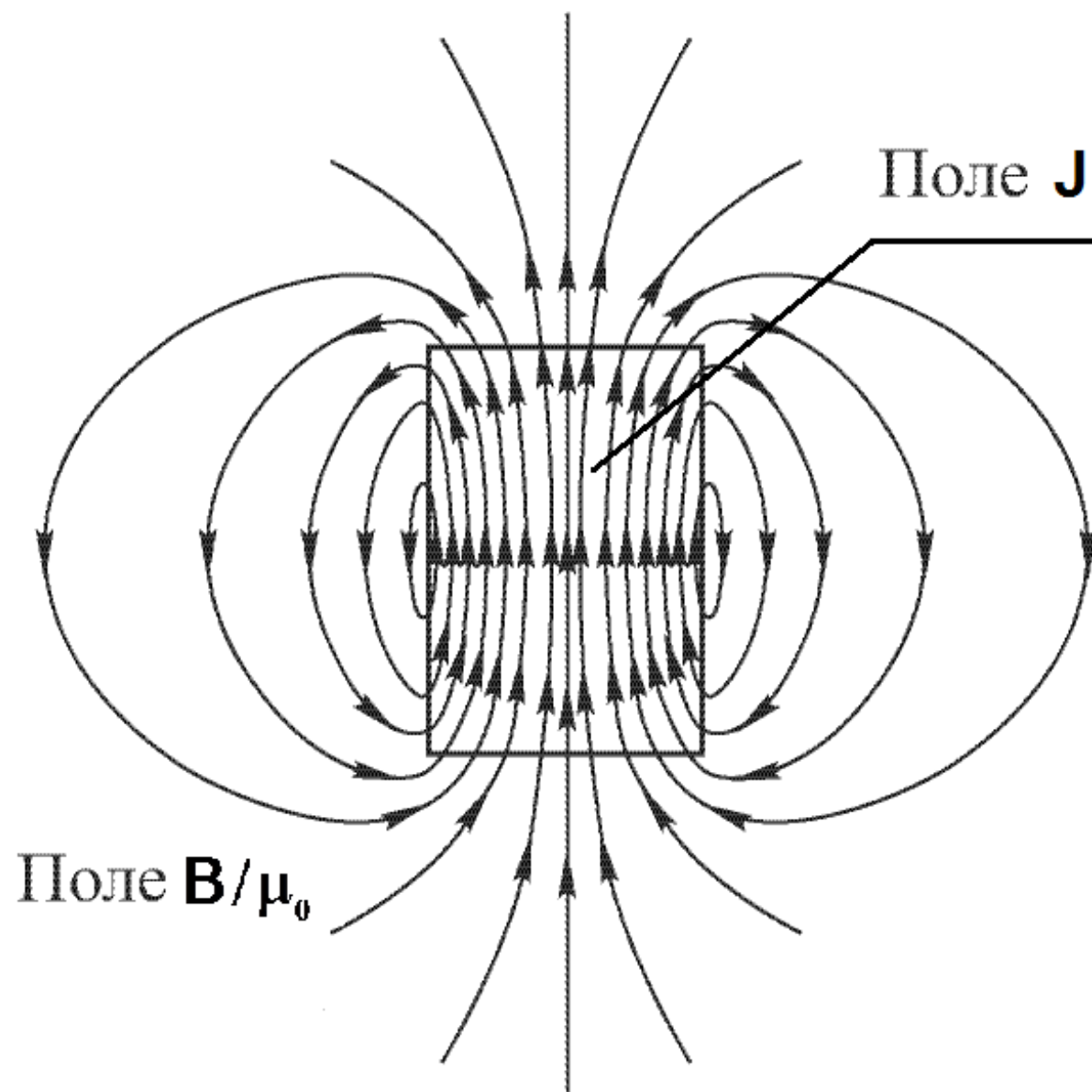


*Поле  $B$*

В этом случае получается другое  
несоответствие сегодняшней теории:

$$\operatorname{div} B \neq 0$$





# Парадокс изображения магнитных векторов в теле кольцевого магнита с щелевым зазором

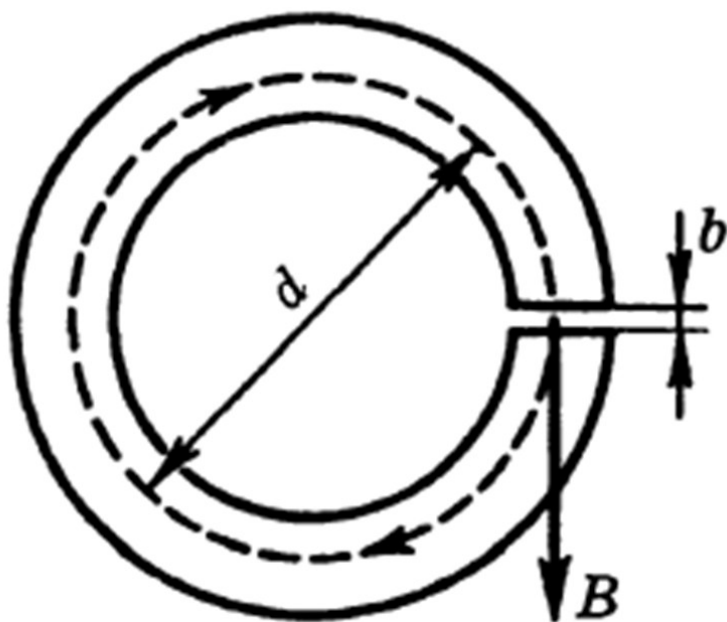


Рис. 7.22

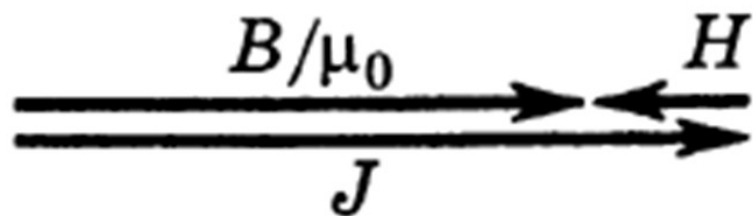


Рис. 7.23

# Правильные соотношения магнитных векторов внутри магнетиков

Диамагнетики



Парамагнетики



Ферромагнетики



Обозначения:



Вектор  $H$  от токов проводимости



Вектор  $J$  - намагниченность магнетика



Вектор  $B/\mu_0$  (составной результирующий вектор)

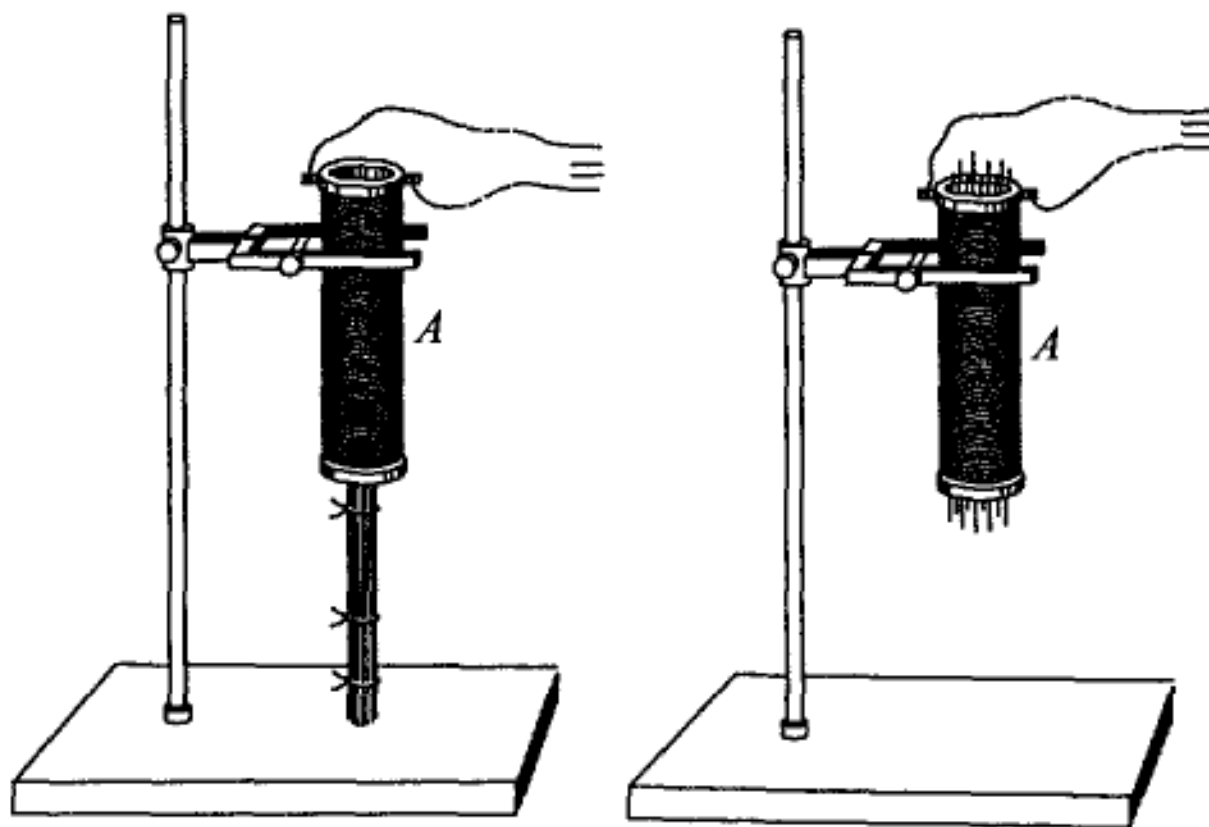
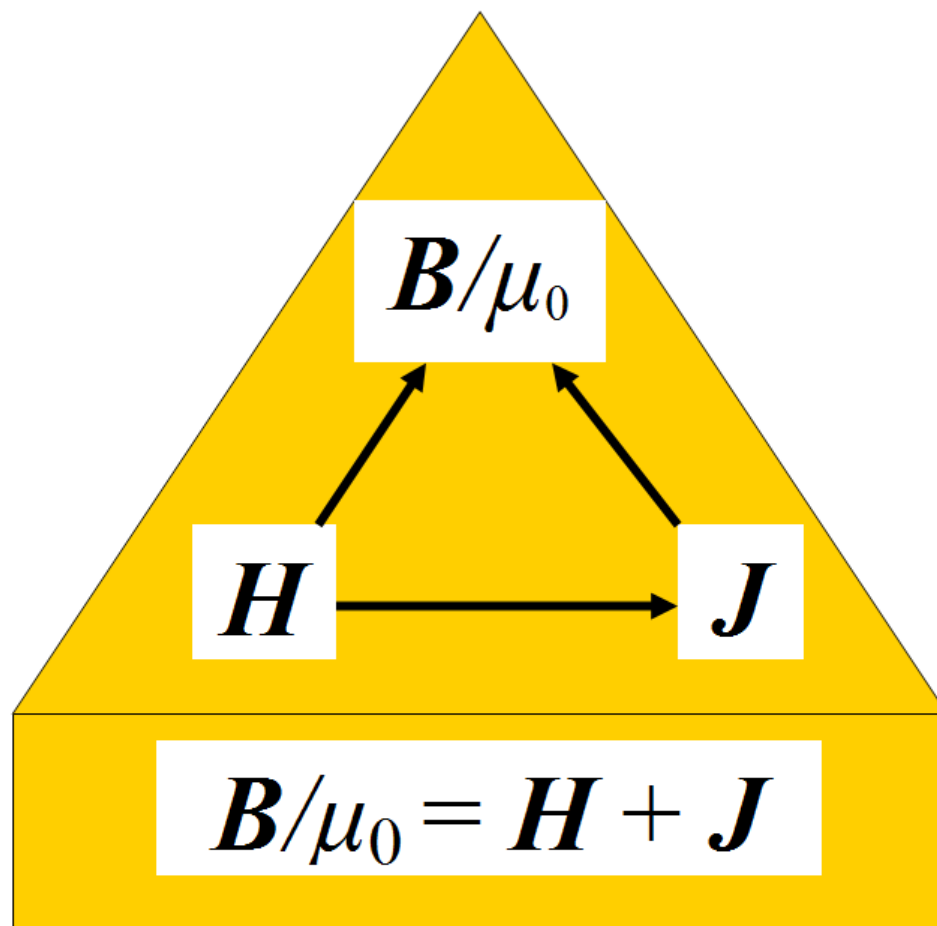


Рис 162. Железные проволоки порознь намагничиваются сильнее, чем толстый стержень, составленный из этих проволок

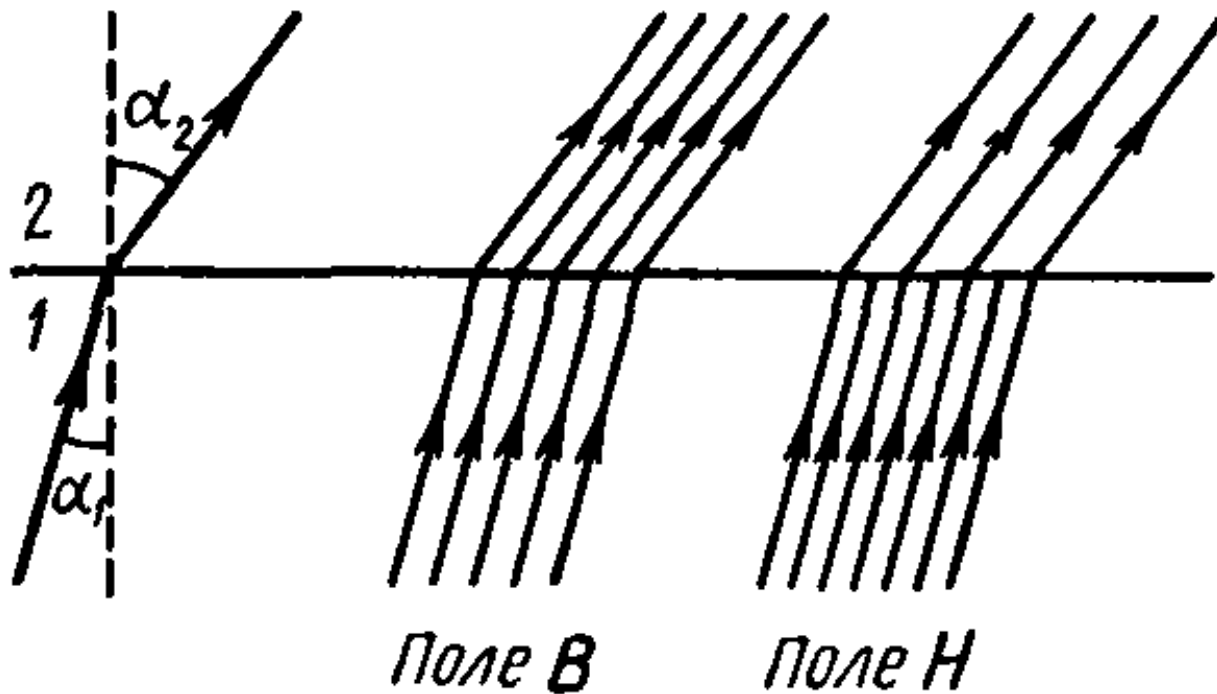


$$\vec{B} / \mu_0 = (1 + \chi) \vec{H} = \mu \vec{H}$$

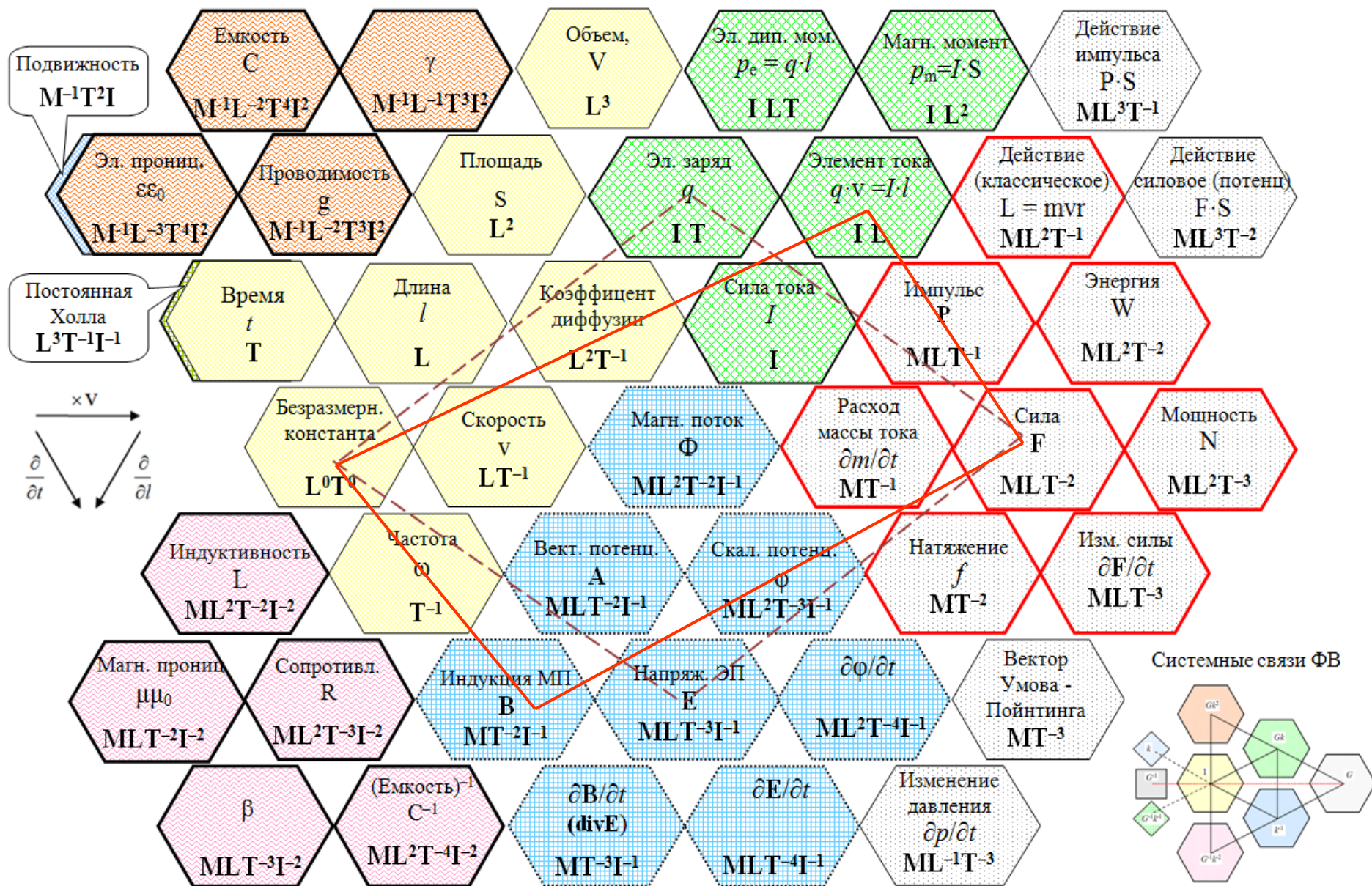
$$\vec{J} = \chi \vec{H}$$

$$(1 + \chi) = \mu$$

Вектор  $H$ , не чувствующий среду, не может прерываться и преломляться на границе двух сред



# СИСТЕМА ЭЛЕКТРОМАГНИТНЫХ ВЕЛИЧИН И ИХ ВЗАИМОСВЯЗЕЙ

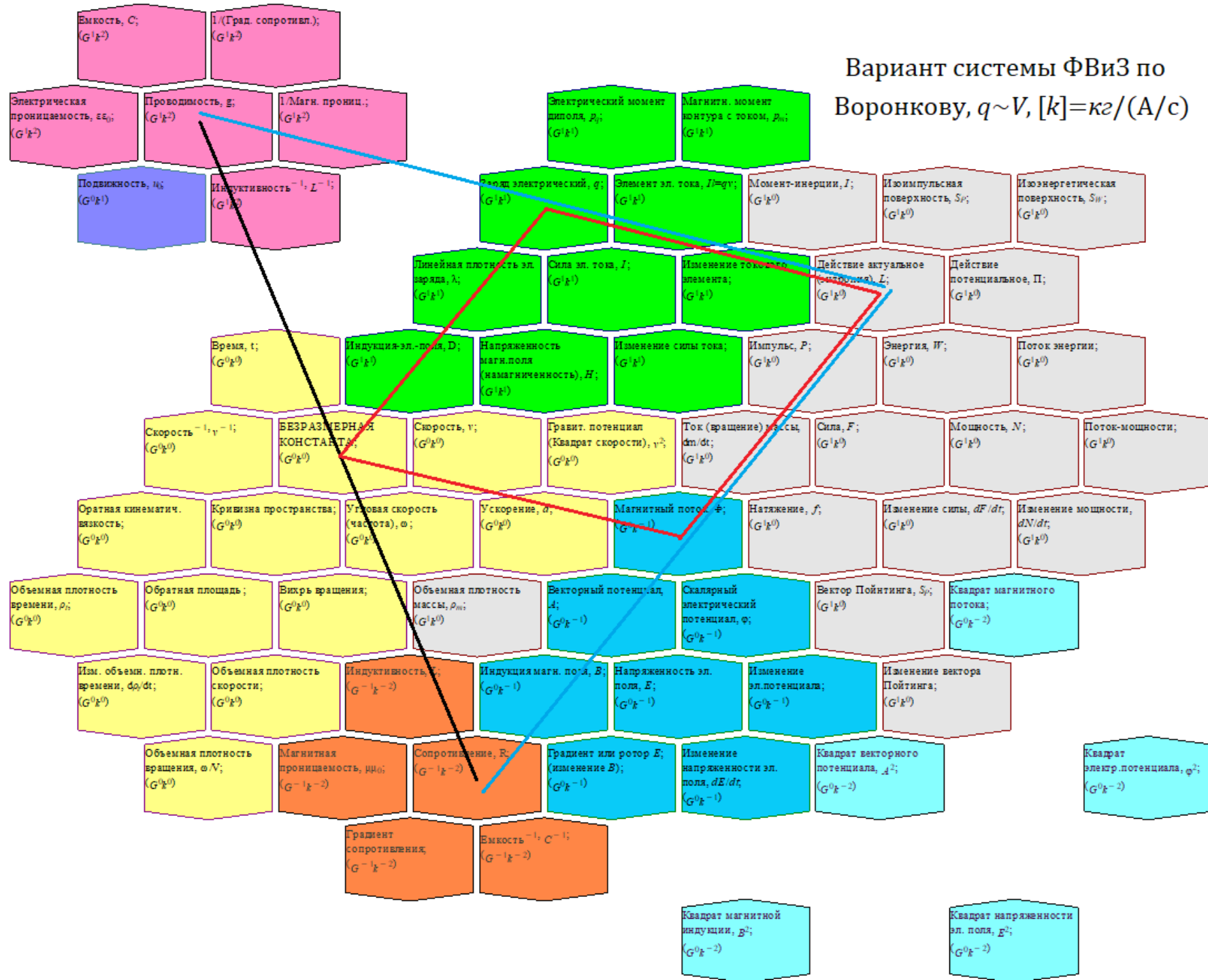


Чуев А.С. - 2022

Полевые ЭМ величины это отпечаток через **заряд** базовых динамических ФВ<sup>67</sup>



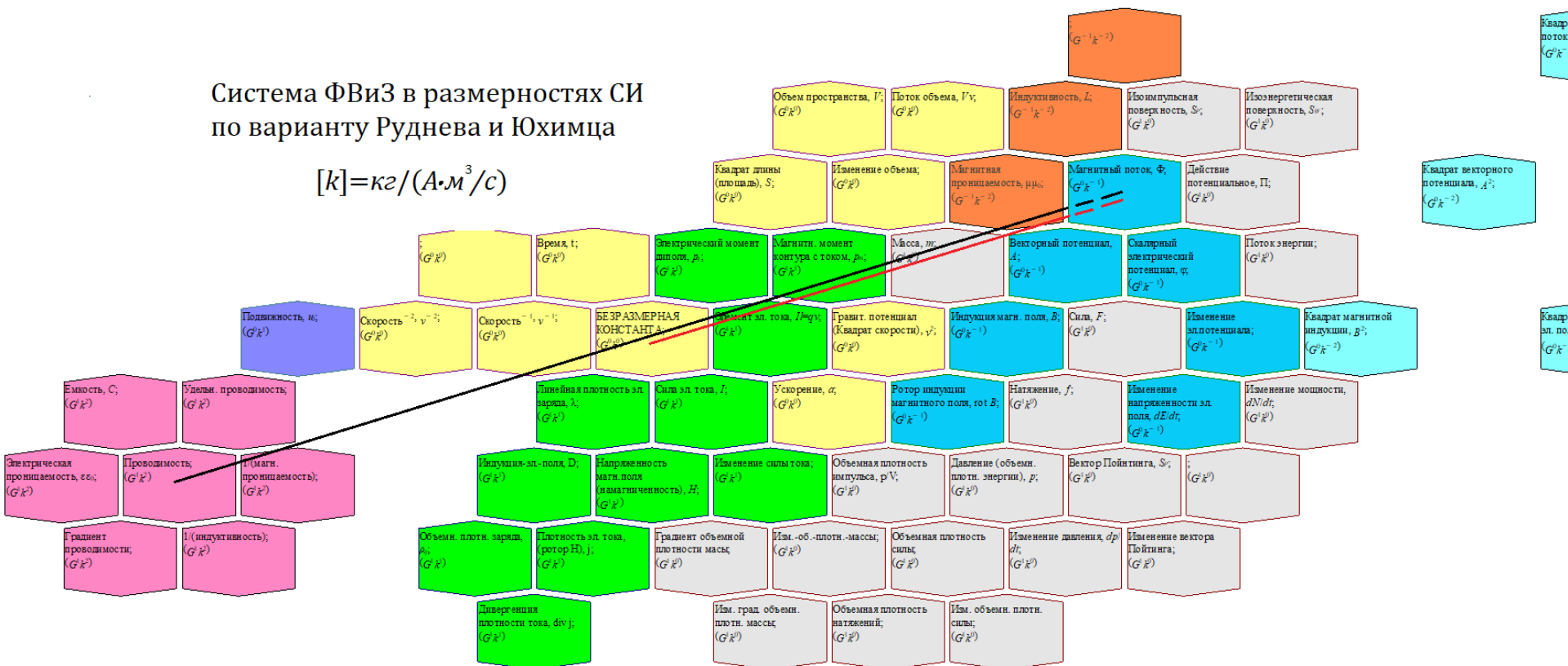
# Вариант системы ФВиЗ по Воронкову, $q \sim V$ , $[k] = \kappa z / (A/c)$





# Система ФВиЗ в размерностях СИ по варианту Руднева и Юхимца

$$[k] = \kappa_2 / (A \cdot M^3 / c)$$



КОНЕЦ ПРЕЗЕНТАЦИИ

**Спасибо за внимание!**